# 厚生労働科学研究費補助金 食品の安全確保推進研究事業

非メジャー血清群腸管出血性大腸菌の重症化因子の同定及び新たな 分離検出法確立のための研究

令和 4~6 年度

総合研究報告書

研究代表者 窪村 亜希子 国立感染症研究所 細菌第一部 令和 7 (2025) 年 5 月

# 目次

Ι.	総合研究報告
	非メジャー血清群腸管出血性大腸菌の重症化因子の同定
	及び新たな分離検出法確立のための研究1
	窪村 亜希子
II.	分担研究報告書
	非メジャー血清群腸管出血性大腸菌のゲノム解析42
	李謙一
III.	研究成果の刊行に関する一覧表 65

# 厚生労働省科学研究費補助金 (食品の安全確保推進研究事業) 総合研究報告書

非メジャー血清群腸管出血性大腸菌の重症化因子の同定及び 新たな分離検出法確立のための研究

研究代表者 窪村 亜希子(国立感染症研究所 細菌第一部)研究分担者 李 謙一 (国立感染症研究所 細菌第一部)

#### 研究要旨

腸管出血性大腸菌(EHEC)に関する研究は主要 7 血清群を中心に行われてきが、主要ではない血清群(以下、非メジャー血清群)についても重症例や死亡例が国内外で報告されていることから、着目していく必要性がある。本研究では非メジャー血清群 EHEC について、病原性遺伝子領域 LEE を保有しない血清群(LEE(-)血清群)と、LEE を保有する主要ではない血清群(LEE(+)マイナー血清群)の EHEC に分類し、ゲノム解析および培養細胞を使用した解析により重症化因子特定を試みる。さらに既存培地による分離検出の有用性について評価を行った。

LEE(-)血清群 EHEC については、全ゲノム解析により重症例由来株から cdiAB, gad, katN, rgdR, stx2 が高率に検出された。さらに、HUS 症例由来株については完全長ゲノム配列の取得と解析を行ったことで、いずれも巨大プラスミドを保有していることが確認された。全株の培養細胞への感染試験結果から、細胞への付着率や付着形態はLEEを保有する主要な血清群の EHEC とは異なることが明らかとなった。さらに、死亡例由来 LEE(-)血清群 EHEC 株の培養細胞への付着性は本菌の外膜タンパクが担っていることも明らかとなった。

LEE(+)マイナー血清群 EHEC については 11 株の HUS 症例由来株から共通して stx2 が検出され、非メジャー血清群 EHEC においても stx2 が重症化に寄与している可能性が示唆された。 さらに、HUS 発症と関連している 7 種類の O 血清群全株を対象としてゲノム解析を行うことで、重症例由来株から katP 等の遺伝子が高率に検出されることを特定した。

katP および katN の遺伝子保有率の調査により、いずれも重症率の高い O 血清群または血清型において保有が確認されたことから、抗酸化に関与する因子は特定の血清型の非メジャー血清群 EHEC において重症化に寄与している可能性が示唆された。さらに、非メジャー血清群 EHEC の半数以上が CT 含有培地において発育が困難であることが確認され、食中毒等の事例発生時において食品等検体から EHEC の分離を行う場合は、CT 不含培地の確認も併せて行うことが重要であると考えられた。

#### A. 研究目的

腸管出血性大腸菌(enterohemorrhagic Escherichia coli: EHEC)は食中毒や腸管感染症の原因微生物の1つであり、ヒトに下痢等の消化器症状を発症させる。国内では年間約3000名程度の感染例報告があり、同菌による重症例では血便や溶血性尿毒症症候群 (HUS)を発症し、死者も報告されることから公衆衛生上重要な微生物である。

分離される EHEC の 90%以上は、主要 7 血清群 (O157, O26, O111, O121, O145, O103, O165) であることから、EHEC に関する研究はそれら血清群を中心に行われてきた。しかし、主要ではない血清群 (以下、非メジャー血清群) についても重症例や死亡例が国内外で報告されていることから、非メジャー血清群の EHEC についても着目していく必要性がある。

主要な血清群の EHEC はいずれも病原性遺伝子領域 locus of enterocyte effacement (LEE) を保有し、LEE 領域内に存在する細胞付着関連遺伝子により宿主細胞に強固に付着することで感染が成立すると考えられており、実際、培養細胞を用いた試験において細胞への付着性と EHEC 感染症の重症化には関連性が示されている。一方で、非メジャー血清群 EHECには LEEを保有しない血清群も含まれ、それら血清群の重症化因子や細胞付着性等について未だ不明瞭な部分が多い。

本研究では、非メジャー血清群 EHEC の重症化因子の特定のため、過去 15 年間 に国内で分離された非メジャー血清群 EHEC のうち HUS 症例由来株が含まれる O 血清群を中心に LEE を保有しない

(LEE(-)) 血清群、および保有するが主要ではない(LEE(+)マイナー) 血清群に分類し、全ゲノム配列(whole-genome sequence: WGS)解析や培養細胞を用いた解析を行った。さらに既存培地による分離検出の有用性について評価も行った。

## B. 研究方法

# 1. LEE(-)血清群 EHEC の解析

# 1-1. WGS 解析

2007-2021 年に国内で分離された LEE(-)血清群 EHEC のうち、HUS を起こした O 血清群を中心とした 9 種類の O 血清群 (O74, O113, O115, O163, O166, O174, O183, OX18, OUT) に属する 328 株を解析対象株とした。328 株のうち WGS 解析が未実施である 209 株について、HiSeqX (illumina) を用いて WGS 解読を行い、得られたシークエンスデータを使用して網羅的に病原性関連遺伝子の検出を行うことで確実に LEE(-)血清群 EHEC 研究対象株の選定を行った。遺伝子検出方法は、アセンブル後のドラフトゲノムを用いて Center for Genomic Epidemiology

# (http://www.genomicepidemiology.org/)、および The Virulence Factor Database (http://www.mgc.ac.cn/VFs/main.htm) で検出されている病原性関連遺伝子を中心とした独自のデータベース上の遺伝子を対象にBLASTnにてアライメント長60%以上、類似性90%以上の遺伝子が検出された場合を保有と判定した。さらに検出された場合を保有と判定した。さらに検出された病原性関連遺伝子のうち細胞付着関連遺伝子に着目し、保有状況の確認を行った。また、HUS 症例由来株9株のうち

4 株については PacBio Seguel IIe による解

読を行い(表 1)、得られたロングリード シークエンスおよびショートリードシー クエンスを Trycycler および Unicycler を 用いたハイブリッドアセンブリで完全長 ゲノム配列の決定を行った。取得した完 全長ゲノム配列から保有するプラスミド のサイズやプラスミド上にコードされる 主な病原性関連遺伝子等の確認を行った。

#### 1-2. 系統解析と保有遺伝子の比較解析

1-1 で取得した WGS データを使用して Multilocus sequence typing (MLST) による ST の特定、および抽出した SNP による系 統樹の作製を行った(表 2)。さらに、重 症化に関与する可能性にある遺伝子を検 出するため、HUS 症例由来株と同じ血清 型 (O74:H20, O113:H21, O183:H18, OX18:H2, OX18:H19, OX21:H19. OgN13:H19) であることが確認された 92 株(表3)を対象にWGS解析による網羅 的な病原性関連遺伝子の検出による遺伝 子保有状況を確認した後、92 株を重症例 から分離された13株(重症株)とそれ以 外の79株(非重症株)に区分して遺伝子 保有状況の比較解析を行い、カイ二乗検 定により重症例から有意に高率に検出さ れる遺伝子の特定を行った。抽出された 各遺伝子について、解析対象である92株 の血清型別保有率の確認も行った。

# 1-3. *katN* の表現型の解析および保有状況 調査と検出系の開発

1-2 により重症例から高率に検出された遺伝子のうち *katN* に着目をして解析を行った。初めに表現型確認のため、マクロファージ細胞(RAW264.7)を用いた解析

を行った。方法は HUS 症例由来 katN 陽 性 EHEC OX18:H19 (JNE181771 株)、お よび λ Red-recombination システムにより 同株の katN 破壊した株 (JNE181771ΔkatN) について一晩培養させた菌液を RAW264.7 細胞に接種し貪食させ、30 分 後に PBS で洗浄を行った後、細胞外の菌 を殺菌するため 50 μg/ml ゲンタマイシン 加培地を分注し、1時間後(貪食菌数)お よび 5 時間後(生存菌数)に測定した細 胞内菌数から細胞内生存率を比較した。 菌数測定は1% Triton X を加え細胞溶解液 を作製し、LB寒天平板に塗抹した。試験 は5回実施し、1回につき各サンプルを2 重に試験した。katN 保有状況調査は所内 に保管される non-EHEC を含む大腸菌 4522 株 (287 血清型) を対象にゲノム解 析により行った。また PCR 法による katN の検出系開発のため、katN の保有が既に 報告されている EHEC O157:H7 EDL933 株と所内 katN 保有大腸菌 5 株の遺伝子配 列から検出プライマーの設計を行った。 設計したプライマーを用いて katN 保有状 況が判明している大腸菌 54 株を対象に PCR を実施することで適切に検出が可能 であるか確認も行った。

## 1-4. 培養細胞を使用した表現型の解析

培養細胞を使用した細胞付着性試験および細胞毒性試験により細胞への表現型について確認を行った。細胞付着性試験の対象株は WGS 解析により選定された LEE(-)血清群 EHEC 全株とし、細胞毒性試験は HUS 症例由来株を中心に実施した。細胞付着性試験の方法は一晩培養菌液を MOI が 100 となるよう HEp-2 細胞に接種

し 1%マンノースを加えた FBS-free DMEM で 1 時間培養を行った。その後 PBS にて 3 回洗浄し、再度 1%マンノース を加えた FBS-free DMEM で 3 時間培養を 行った。再度 PBS にて3回洗浄し、メタ ノール固定とギムザ染色を行った後、顕 微鏡観察により細胞への付着の有無およ び付着形態の確認を行った。さらに HUS 症例由来株のうち細胞付着関連遺伝子 saa が検出された8株のうち、細胞付着性 試験により細胞付着性が確認された株に ついて λ Red recombination システムによ り saa 破壊株を作製し、再度細胞付着性 試験を実施した。また、HUS 症例由来株 のうち saa 等既知の細胞付着因子不検出 であった JNE140672 株 (O115:H10) につ いては、HEp-2細胞への付着性の解析を、 PBS での洗浄を菌液接種1時間後と細胞 固定前の2回に分けて行う方法(UTH法)、 および細胞固定前にのみ行う方法(CVD 法)の2条件で実施した。細胞毒性試験 についてはHUS 症例由来株から検出され た主な病原性遺伝子である cdt と sub の細 胞への影響について評価を行うため、各 遺伝子を保有する同じО血清群の健康者 由来株の解析結果と比較を行った。ただ し、OgN13 については健康者由来株が無 かったため HUS 症例由来株のみとした (表 4)。試験方法は被検菌を LB または BHIで振とう培養を行った菌液について、 超音波破砕を行った後、0.45μm フィルタ ーにより作製した抽出液を CHO 細胞に 添加し細胞伸長や細胞傷害性について解 析を行った。CHO 細胞の細胞伸長の評価 は顕微鏡による形態観察および Countess3 による平均細胞サイズ測定、細胞傷害性

は Cell Counting Kit-8 (Dojindo) による生 細胞数の測定を行い、菌液を接種しない ウェルの細胞を 100%として算出した。

# 1-5. HUS 症例由来 EHEC のプラスミドの 解析

細胞付着性が検出された HUS 症例由来 株のうち、死亡例由来株である OX18:H2 株(JNE170426)を対象に、細胞付着因子 がプラスミド上に存在するか確認を行っ た。方法は、完全長ゲノム配列の解析によ り確認された JNE170426 が保有する 158kb (pJNE170426-1) および 86kb (pJNE170426-2) のプラスミドについて、 λ Red recombination システムによりカナ マイシン (Km) 耐性を各プラスミドに付 与した株を作製後、各株からプラスミド の抽出を行った。抽出したプラスミドを エレクトロポレーションにより DH10B 株に導入を行ったのち、Km添加LB培地 で培養することでプラスミド導入株の選 定を行った。作製したプラスミド導入株、 および、陽性対照として各プラスミドに Km 耐性を付与した JNE170426 株につい ても HEp-2 細胞を使用した細胞付着性の 解析を行った。

# 1-6. HUS 症例由来 LEE(-)血清群 EHEC の 細胞付着因子の特定

HUS 症例由来 LEE(-)血清群 EHEC の細胞付着因子を特定するため、JNE170426株を対象に Tn-seq 解析を行った。 方法は JNE170426 株についてトランスポゾン (Tn5) 挿入によるランダムな遺伝子破壊株ライブラリーを作製し、作製したライブラリーを HEp-2 細胞に接種、3 時間感

染実験を行った後、非付着株を除去する ため PBS で 3 回洗浄、1% Triton-X100 添 加により取得した細胞溶解液を Km 添加 LB 培地にて 37℃で 18 時間培養し、取得 した菌体から DNA の抽出を行った。HEp-2 細胞接種前のライブラリーから抽出し た DNA サンプル (input)、および付着性 試験後に回収した菌体から抽出した DNA サンプル (output) について Tn-seq 解析を 実施しシークエンスデータを取得した。 取得した input および output サンプルのシ ークエンスデータを JNE170426 の染色体 上ゲノムにマッピングを行い、Tn-seq Explorer を用いて染色体上の各遺伝子に マッピングされたカウント数を検出した。 各遺伝子のカウント数の output/input 比か ら細胞付着性に寄与している可能性の高 い遺伝子を選定した。選定した各遺伝子 は λ Red-recombination システムにより破 壊した株の作製、当該遺伝子をクローニ ングしたプラスミドにより相補した株、 および細胞非付着株 (DH10B) に導入した 株を作製し、HEp-2細胞への付着性を解析 した。

# LEE(+)マイナー血清群 EHEC の解析 WGS 解析

2007-2021 年に国内で分離された主要 7 血清群以外の O 血清群に属する LEE(+)血 清群 EHEC で HUS を起こした O 血清群 である 7 種類の O 血清群 (O51, O70, O76, O80, O109, O172, O177) に属する 103 株 を解析対象株とし、HiSeqX (illumina) を 用いて WGS 解読を行った。取得した WGS を用いたゲノム解析により病原性関連遺 伝子を 1-1 と同様の方法により検出した。 さらに、HUS 症例由来株である 11 株については EHEC の主な毒素遺伝子(*stx1*, *stx2*, *ehxA*, *cdt*, *sub*)の保有状況の確認も行った。

# 2-2. 系統解析と保有遺伝子比較解析

HUS 発症由来株を含む 7 種類の O 血清 群に属する 95 株 (表 5) の WGS を使用 し、MLST による ST の特定、および SNP 抽出による系統解析を行った。2-1 により 特定された供試株の血清型および eae 保 有状況、各菌株の疫学情報 (発症の有無等) と併せて系統樹のメタデータとして使用 した。また、2-1 の解析により eae が検出 された株を LEE 保有株として重症化に関 与する遺伝子特定も行った。方法は 1-2 と 同様の方法で行った。特定された遺伝子 については O 血清群別の保有率も算出し

#### 2-3. 培養細胞を使用した表現型の解析

LEE(+)マイナー血清群 EHEC の解析対象である全 103 株について HEp-2 細胞を用いた細胞付着性試験を 1-2 と同様の方法により実施した。さらに同一 O 血清群の細胞付着株について、重症例由来株と健康者由来株の細胞付着効率の比較を行い、細胞付着性が重症化に寄与している可能性についても評価を行った。また、103 株のうち HUS 症例由来株である 11 株については CHO 細胞を用いた細胞傷害性の解析を行った。方法は LB で培養したHUS 症例由来菌液を使用し、1-4 と同様の手法で行った。

# 3. 非メジャー血清群 EHEC の既存培地 への発育状況確認

本研究対象血清型のうち国内分離株数の多い8種類の血清型を各8株、合計64株を対象として既存平板培地を用いた分離検出の有用性を評価した。使用する平板培地は、EHECの分離に用いられる選択剤であるセフィキシム・亜テルル酸カリウム(CT)を含有する4種類のEHEC分離用の平板培地、およびCT不含の6種類の平板培地(合計10種類)とした。さらに規定量の半分のCTを添加したクロモアガーSTEC培地も作製し、全てのCT感受性株を対象に塗抹した。各平板培地は37℃で18-24時間培養後に各菌株の発育状況やコロニーの色調等の観察を行った。

## C. 研究結果

# 1. LEE(-)血清群 EHEC の解析

#### 1-1. WGS 解析

328株の WGS から網羅的に保有遺伝子 の検出を行い、312 株の LEE(-)血清群 EHEC の選定を行った。選定された株で症 状が確認可能であった 278 株のうち 76 株 (27.3%) が有症例、22株 (7.9%) が血便 等の重症例由来株であった(表 6)。312株 からは 293 種類の病原性関連遺伝子が検 出され、そのうち53種類は細胞付着関連 遺伝子であった。細胞に付着した株から 検出された付着関連遺伝子は38種類あり、 各付着関連遺伝子について付着株の検出 数と全 312 株の検出数の比較(付着株検 出数/全312株検出数×100)を行った結 果(図1)では、eibGが最も高い値(50%) を示し、カイ二乗検定により有意差が示 された (p < 0.01)。 次いで saa (7.7%) や *lpfA*(7.3%)が多く検出されたがいずれも 有意差は示されなかった。HUS 症例由来

株についてロングリードシークエンス解析を行い、4株の完全長ゲノム配列を決定した。さらに、既に取得済みの4株と合わせた合計8株のHUS症例由来株について、保有する染色体やプラスミドのサイズ等確認を行った結果、いずれの株も共通して巨大プラスミド(131~174kb)の保有が確認された(表7)。

#### 1-2. 系統解析と保有遺伝子の比較解析

系統解析では高病原性が示唆される系 統は確認されなった(図2)。しかし、各 血清型の代表株および代表的な大腸菌株 について系統解析を行った結果、同じ O 血清群であっても H 抗原型が異なる場合 は必ずしも近縁ではないことが確認され、 病原性等の特徴も異なる可能性が考えら れた (図3)。HUS 症例由来株と同じ血清 型に属していた株について網羅的に病原 性関連遺伝子の検出を行った結果、92 株 から 228 種類の遺伝子が検出された。さ らに重症株と非重症株に区分して遺伝子 保有状況を比較した結果、重症株から cdiAB, gad, katN, rgdR, stx2 が有意に (p < 0.05) 高率に検出された (表 8)。 検出され た遺伝子のうち stx2 は全ての血清型から 検出され、cdiAB と katN についてはそれ ぞれ O74:H20 と OX18:H19 の全株から検 出された (図4)。

# 1-3. *katN* の表現型の解析および保有状況 調査と検出系の開発

RAW264.7 細胞を用いた katN の表現型の解析により、JNE181771 野生株の 5 時間後の生存率は JNE181771  $\Delta katN$  に比べ有意に低い値となった(p=0.017)(図 5)。

katN の保有状況調査では、287 の血清型のうち21の血清型(OUT および HUT 除く)から katN が検出された。このうち本研究対象としている血清型のうち比較的重症率が高い(45.8~57.1%)3 血清型(O172:H25,O177:H25,OX18:H19)において高率(88.2~100%)に検出されることが明らかとなった(表 9)。また、katNのPCR 検出用プライマーを設計し(katN-F:TATTGGTTCTTGTTGGTAT、 katN-R:GTCAAAGTTTTCATCACTGT)、当該プライマーを用いたPCR 法では katN 保有株にのみ目的のサイズ(409bp)の増幅バンドが確認された。

### 1-4. 培養細胞を使用した表現型の解析

選定された全 312 株について細胞付着 性試験を行った結果、19 株で細胞への付 着が確認され(表10)、症状が確認可能で あった 18 株のうち 3 株 (16.6%) が重症 者由来株であった。細胞に付着した19株 のうち5株(O183:H18が4株、O174:H2 が1株) は細胞付着関連遺伝子 eibG を保 有していたが、顕微鏡による付着形態観 察では EibG が示す特徴的な付着形態で ある Chain-like adherence (CLA) は O183:H18の4株でのみ認められ、O174:H2 の株については CLA とは異なる付着形態 であると判定した(図6)。HUS症例由来 株の細胞付着性試験では saa を保有する 8株のうち、2株が HEp-2 細胞への付着性 を示した。しかし、当該2株のsaaを破壊 した株について細胞付着性試験を行った 結果、いずれも細胞への付着が確認され た。saa 非保有であった JNE140672 株に ついては、UTH 法では非付着性であった が、CVD 法においては細胞付着性の検出が可能であった。細胞毒性試験では、cdtを保有する株はいずれも細胞伸長が確認され(図7)、平均細胞サイズは HUS 症例由来株と健康者由来株で大きな差は認められなかった(図8)。sub 保有株の CHO細胞への影響の解析では、CHO細胞の生細胞数について O 血清群ごとに比較を行ったが、健康者由来株に比べ HUS 症例由来株の方が有意に低い生細胞数を示す O 血清群は確認されなかった(図9)。

# 1-5. HUS 症例由来 EHEC のプラスミドの 解析

JNE170426 が保有するプラスミドpJNE170426-1 および pJNE170426-2 に Km 耐性を付与した株、および各プラスミドをそれぞれ DH10B に導入した株 ( DH10B/pJNE170426-1, DH10B/pJNE170426-2) について HEp-2 細胞による付着性の解析を行った結果、プラスミドに Km 耐性を付与した 2 株は野生株と同様の付着性を示したが、一方で DH10B にプラスミドを導入した 2 株についてはいずれも細胞非付着性であった (図 10)。

# 1-6. HUS 症例由来 LEE(-)血清群 EHEC の 細胞付着因子の特定

Tn-seq により取得した配列をJNE170426の染色体上に存在する4802遺伝子にマッピングを行い、各遺伝子のinput および output サンプルのカウント数比 (output/input)を0.2以下等の条件を設定することで細胞付着性に関与している可能性の高い30遺伝子を抽出した(表11)。これら30遺伝子を対象に順次破壊株の作

製および培養細胞への付着性の解析を行った結果、細胞外膜タンパクに関連する遺伝子 (nmpC) を破壊した株 (JNE170426  $\Delta nmpC)$  において細胞付着性が消失した。そのため pMW119 に nmpC をクローニング し、相補株 (JNE170426  $\Delta nmpC/pMW119-nmpC)$  および DH10B への導入株 (DH10B/pMW119-nmpC) を作製し、当該 2 株についても細胞付着性の解析を行った結果、いずれも細胞付着性を示したことから、本菌の細胞付着因子として NmpC を特定した(図 11)。

# LEE(+)マイナー血清群 EHEC の解析 WGS 解析

HUS 症例由来の 11 株について病原性 関連遺伝子を検出した結果、全ての株から stx2 が検出され、ehx と cdt はそれぞれ 8 株および 3 株から検出されが、sub はい ずれの株からも検出されなかった。

## 2-2. 系統解析と保有遺伝子比較解析

系統解析により LEE(+)マイナー血清群 EHEC においても、同じ O 血清群のうち H 抗原型が異なる場合は必ずしも近縁ではなく、ST も異なることが確認された(図12)。 さらに、O76 および O109 においては H 抗原型の違いにより eae 保有の有無が異なり、いずれも eae 保有系統からのみ HUS 発症例および重症例が確認された。

2-1 の解析により eae 不検出株等を除いた 63 株 (表 12) を対象に網羅的に病原性関連遺伝子の検出を行った結果、63 株から 309 種類の遺伝子が検出された。さらに 63 株のうち 24 株を重症株、39 株を非重症株に区分して遺伝子保有状況を比較

した結果、重症株から katP, IncFIB, tssF, espJ, upaG/ehaG が有意に (p < 0.05) 高率に検出された (表 13)。O 血清群別の遺伝子保有率では、カタラーゼ-ペルオキシダーゼをコードする katP は比較的重症率の高い3種類のO 血清群 (O177, O172, O76)からのみ保有が確認された (図 13)。

# 2-3. 培養細胞を使用した表現型の解析

全 103 株について HEp-2 細胞による付 着性試験を行った結果、15株で細胞付着 性が認められ(表14)、付着形態はいずれ も局在性付着であった (図 14A)。付着性 が検出された 15 株は O80 が 2 株 (健康者 2株)、O177が13株(重症者5株、その 他有症者 3 株、健康者 4 株、不明 1 株) であった。さらに、O177 株について重症 例由来株と健康者由来株を 4 株ずつ供試 して細胞付着効率の測定を行った結果、 重症例由来株の方が高い値となったが (図 14B)、t 検定による統計解析では有 意差は認められなかった (p=0.12)。 HUS 症例由来株の細胞傷害性試験では、11 株 のうち 5 株が非病原性株に比べ生細胞数 が有意に低下した (p < 0.05)。生細胞数の 低下が認められた5株のうち3株はcdt保 有株であり、鏡検により細胞の膨化が確 認された (図 15)

# 3. 非メジャー血清群 EHEC の既存培地 への発育状況確認

供試した 8 血清型のうち O177:H25 については2つの系統(ST659 および ST342) が含まれ、系統により色調の異なるコロニーが確認されたが、残りの 7 血清型では血清型ごとに概ね同様の色調を示した

(表 15)。一方で、供試した全 64 株のうち O177:H25 の全 8 株と O76:H7 の 4 株を除いた 52 株 (81.3%) については、CT を含有する培地においてコロニー形成が確認されず、発育が困難であることが明らかとなった。これら 52 株については、半量の CT が添加された平板培地にも塗抹を行ったが、発育が確認されたのは 11 株 (21.2%) のみであった。

# D. 考察

EHEC は LEE 保有の有無により病原性等が異なることが知られているため、本研究では非メジャー血清群 EHEC を LEE 保有の有無に分類し、それぞれの特徴や表現型検出に有用な方法や条件を用いて解析を行った。 LEE を保有しない LEE(-)血清群 EHEC は、国内においても分離数が少なく希少な株であるため、通常、菌株の確保が困難となるが、本研究では国内全域の過去 15 年分を対象とすることで多くの株を解析することができた。

LEE(-)血清群 EHEC の HEp-2 細胞への付着株数は 19 株 (6.1%)のみであった。 LEE を保有する主要な血清群の EHEC の細胞付着率は、研究対象により多少の差はあるが、74~81%程度であることから、LEE(-)血清群 EHEC の細胞付着率は LEEを保有する株の10分の1程度であることが本研究により明らかとなった。一方で、細胞付着株の重症者の割合は非付着株に比べ2倍以上高い値を示したことから、LEE(-)血清群 EHEC においても細胞への付着は病原性の発揮に関与している可能性もあると考えられる。

HUS 症例由来 LEE(-)血清群 EHEC 株の

解析の完全長ゲノム配列の解析により共 通して巨大プラスミドの保有が確認され た。しかし、本研究では、巨大プラスミド 上に共通してコードされる sub と saa、さ らに cdt についても病原性について解析 を行ったが、今回解析を行った条件では いずれも LEE(-)血清群 EHEC 感染症の重 症化に関与している可能性は示唆されな かった。巨大プラスミド上には他にも共 通する遺伝子が複数含まれているため他 の因子についても検討を行っていくこと で、重症化因子の特定につながる可能性 はあると考えられるが、巨大プラスミド はHUS症例由来株以外でも保有が確認さ れることから、症状別でのゲノム配列の 比較や表現型の定量的な評価も行ってい く必要性があると考えられる。

LEE(-)血清群 EHEC の重症化に関与す る因子は血清型により異なる可能性が示 唆された。重症例から有意に高率に検出 された遺伝子 (cdiAB, gad, katN, rgdR, stx2) のうち cdiAB および katN は特定の血清型 において全株から検出された。さらに系 統解析から一部で血清型により系統が異 なっていたことも、血清型により重症化 因子が異なる可能性を示唆している。し かし、本遺伝子が重症化に関与している か評価するためには、各遺伝子の発現状 況や表現型の確認など別の手法による解 析が必要となる。一方で、stx2 については 全ての血清型から検出され、さらに LEE(+)マイナー血清群 EHEC の HUS 症 例由来株においても全株から共通して検 出されたことから、stx2 は非メジャー血清 群 EHEC においても重症化に寄与してい る可能性が示唆された。

LEE(-)血清群 EHEC 株の HEp-2 細胞付 着株のうち 15 株 (78.9%) は細胞付着形 態から付着因子を特定するのは困難であ った。LEE を保有する EHEC の細胞への 付着形態については、局在性付着である ことが既に知られている。一方で LEE を 保有しない株については細胞付着形態が 多様であり、特徴的な細胞付着形態を示 す EibG 以外については付着形態から細 胞付着因子を特定することは困難である ことが本研究により明らかとなった。さ らに、死亡例を含む3株のHUS症例由来 株が共通して HEp-2 細胞に付着性を示し たが、これら 3 株が同じ細胞付着因子に より細胞付着性を示している可能性も考 えられる。また、当該細胞付着性が LEE(-) 血清群 EHEC 感染症の重症化に寄与して いる可能性もあると考えられ、本菌の細 胞付着因子の特定は重要であると考える。

死亡例由来 LEE(-)血清群 EHEC から検 出された細胞付着性は NmpC が担ってい ることが明らかとなった。nmpCに関する 研究論文は乏しく、2011年に耐熱性に関 与することが報告されているが細胞付着 性に関連する報告は確認されないことか ら EHEC の新規の細胞付着因子であると 考えられる。また、培養細胞への付着性と EHEC 感染症の重症化には関連性がある ことが既に報告されていることや、nmpC が死亡例由来株から特定されたことから、 本因子による細胞付着性も重症化に関与 している可能性があると考えられる。一 方で nmpC については、その分布状況や 発現制御機構等不明な点が多く残されて いる。本因子について研究を続けること も EHEC 感染症による重症化の機序解明

に繋がると考えられる。

LEE(+)マイナー血清群 EHEC の重症化 には細胞付着性以外の因子が寄与してい る可能性が示唆された。全 103 株を対象 に実施した細胞付着性試験において付着 性を示したのは15株のみであり、O177株 を用いた付着効率試験においても、重症 者と健康者由来株の間に有意な差は認め られなかった。一方で、細胞毒性試験にお いては HUS 症例由来株のうち 5 株が菌液 接種により生細胞数が有意に低下するこ とが確認された。そのうち3株は鏡検お よび cdt の検出により、CDT (細胞膨化致 死毒素)が細胞数の低下に寄与している 可能性が示唆されたが、残りの2株はcdt 不検出であり、細胞の形態的変化も検出 されなかったことから、未特定の因子が 生細胞数低下に関与している可能性も示 唆された。

酸化ストレスに対する防御機能に関与 する因子は特定の血清型の非メジャー血 清群 EHEC の重症化に寄与している可能 性が示唆された。抗酸化に関与する遺伝 子である katP および katN が LEE(+)マイ ナー血清群および LEE(-)血清群 EHEC の 重症例からそれぞれ高率に検出され、ま たそれら遺伝子はいずれも比較的高い重 症率の血清型または O 血清群から検出さ れることが明らかとなった。 さらに HUS 症例由来 katN 保有 EHEC OX18:H19 株が その katN 破壊株に比べマクロファージ細 胞内生存率が高いことも実際に確認され、 抗酸化に関与する遺伝子が特定の血清型 の EHEC において重症化と関連している 可能性が示唆されたことから、引き続き katN および katP 保有株について解析を行

っていくことが重要であると考えられる。 国内での分離株数が多い 8 血清型の非 メジャー血清群 EHEC のうち 7 血清型に おいて CT 添加平板培地での発育が困難 であることが確認された。CT は EHEC の 分離培地に通常使用される選択剤である。 そのため、食中毒等の事例発生時におい て食品等検体から CT 感受性の EHEC を 含む多様な血清型の EHEC の分離を行う ためには、CT不含培地の確認も併せて行 うことが重要である。一方で、非メジャー 血清群を含む多様な血清型の EHEC の効 率的な分離検出法を確立することは重要 な課題であり、そのためには CT 以外の選 択剤等に着目して有用性を評価していく 必要性があると考えられた。

#### E. 結論

非メジャー血清群 EHEC においても stx2 が重症化に寄与している可能性が示唆された。stx2 以外では、酸化ストレスに対する防御機能に関与する因子および NmpC が特定の血清型の EHEC 感染症の重症化に関与している可能性がある。また、食品等の検体から多様な血清型を含む EHEC を効率的に分離検出する方法を確立するためには、CT 以外の選択剤等に着目してその有用性を評価していく必要性があると考えられる。

#### F. 健康危険情報

なし

# G. 研究発表

1) 誌上発表

Kubomura A, Lee K, Ohnishi M, Iyoda S,

Akeda Y, EHEC Working Group. Complete genome sequence of eight LEE-negative Shiga toxin-producing *Escherichia coli* strains isolated from patients with hemolytic-uremic syndrome. *Microbiol Resour Announc*. 2023 Dec 20:e0059123.

#### 2) 学会発表

- 1. 窪村亜希子、李謙一、伊豫田淳、明田幸宏 LEE非保有の腸管出血性大腸菌における細胞付着性の解析 第96回日本細菌学会総会(2023年3月16-18日)ポスター発表
- 2. 窪村亜希子、李謙一、伊豫田淳、明田 幸宏 LEE非保有の腸管出血性大腸菌の細 胞付着性と全ゲノム配列解析 第166回日 本獣医学会学術集会 (2023年9月5-8日)
- 3. 窪村亜希子、李謙一、伊豫田淳、明田幸宏 LEE非保有腸管出血性大腸菌感染症の重症化に関与する因子特定のための解析 第97回日本細菌学会総会(2024年8月8日)

#### H. 知的財産権の出願・登録状況

1. 特許取得

なし

2. 実用新案登録

なし

表1. HUS患者由来株のPacBio解析対象株と保有する主な病原性関連遺伝子

Strain ID	血清型	PacBio	主な病原性関連遺伝子		
Strain 1D	皿月至	解析株	saa	cdt	sub
JNE082640	OX21:H19	•	+	-	+
JNE131328	O113:H21	•	+	+	+
JNE170426	OX18:H2	•	+	-	+
JNE181771	OX18:H19	•	+	-	+
JNE120393	O113:H21		+	+	+
JNE120442	O183:H18		+	-	+
JNE151685	O74:H20		+	-	+
JNE141411	OgN13:H19		+	-	+
JNE140672	O115:H10		-	-	-

表2. SNP抽出による系統樹作製を行った株

O血清群	株数
074	10
0113	74
0115	115
0166	10
0174	51
0183	24
OX18	14
OX21	11
OUT	1

表3. ゲノム解析により病原性関連遺伝子の検出を行った株

血清型	株数	重症株数	重症率 (%)
O74:H20		7 2	28.6
O113:H21	4	1 2	4.9
O183:H18	2	3 1	4.3
OX18:H2	;	2 1	. 50
OX18:H19		7 4	57.1
OX21:H19	1	1 2	18.2
OgN13:H19		1 1	100
Total	9:	2 13	14.1

表4. CHO細胞毒性試験に供試したHUS患者由来株と健康者由来株

O血清群	Strain ID	症状	保有する主な病原性関連遺伝子
0113	JNE131328	HUS	sub, saa, cdt
	JNE120393	HUS	sub, saa, cdt
	JNE130576	無し	sub, saa, cdt
	JNE201237	無し	sub, cdt
OX18	JNE170426	HUS	sub, saa
	JNE181771	HUS	sub, saa
	JNE151350	無し	sub
	JNE192124	無し	sub
0183	JNE120442	HUS	sub, saa
	JNE141782	無し	sub
	JNE141066	無し	sub
074	JNE151685	HUS	sub, saa
	JNE192518	無し	sub
	JNE133336	無し	sub
OgN13	JNE141411	HUS	sub, saa

HUS, Hemolytic-uremic syndrome

表5. SNP抽出による系統樹の作製を行った株

O血清群	株数
O51	3
O70	2
076	34
O80	7
O109	12
0172	9
O177	28
Total	95

表6. 選定した312株のLEE非保有EHEC

O血清群	株数	症状確認株数	有症者数(%)	重症者数(%)
074	12	11	3 (27.3)	2 (18.2)
0113	74	59	15 (25.4)	2 (3.4)
0115	115	109	35 (32.1)	6 (5.5)
0163	11	11	3 (27.3)	2 (18.2)
0166	10	10	2 (20.0)	0 (0.0)
0174	51	42	5 (11.9)	2 (4.8)
O183	24	23	5 (21.7)	1 (4.3)
OX18	14	12	7 (58.3)	6 (50.0)
OUT	1	1	1 (100)	1 (100)
合計	312	278	76 (27.3)	22 (7.9)

表7. HUS患者由来株の染色体と保有するプラスミドサイズ

Strain ID	血清型	系統	染色体 (Mbp)	プラスミドサイズ (kbp)	主な共通病原因子
JNE082640	OX21:H19	B1	4.9	167, 8, 7, 2, 2	saa, ehxA, espP, sub
JNE131328	O113:H21	B1	5	161, 15, 7, 2	saa, ehxA, espP, sub, cdt
JNE170426	OX18:H2	B1	5	159, 86, 7	saa, ehxA, espP, sub
JNE181771	OX18:H19	B1	4.9	131, 89	saa, ehxA, espP, sub
JNE120393	O113:H21	B1	5.1	161, 8, 7, 4, 3, 2, 2	saa, ehxA, espP, sub, cdt
JNE120442	O183:H18	B2	5	161	saa, ehxA, espP, sub
JNE151685	O74:H20	Α	5	174, 61, 7	saa, ehxA, espP, sub
JNE141411	OgN13:H19	B1	5.1	174	saa, ehxA, espP, sub

表8. 重症例由来株から有意に検出された遺伝子

2401 = 171	
Gene	<i>p</i> -value (2-tail)
cdiA	0.003157
gad	0.003307
cdiB	0.004481
katN	0.007391
rgdR	0.01384
stx2a	0.01923

表9. ゲノム解析による各血清型大腸菌のkatN 保有状況調査結果

血清型	解析株数	保有率 (%)	備考
O157:H7	1548	99.9	LEE(+)
O5:H9	31	100	LEE(+)
O172:H25*	15	100	LEE(+), 重症率50%
O165:H25	17	94.1	LEE(+)
OX18:H19*	22	90.9	LEE(-), 重症率57.1%
O177:H25*	17	88.2	LEE(+), 重症率45.8%
O3:H21	3	100	LEE(-)
OX25:H8	2	100	LEE(-)
O148:H10	1	100	LEE(-)
O157:H19	1	100	LEE(+)
O154:H31	1	100	LEE(-)
O50/O2:H5	1	100	LEE(-)
O50/O2:H6	5	60	LEE(-)
O74:H25	2	50	LEE(+)
O104:H2	2	50	LEE(-)
OgN5:H16	2	50	LEE(-)
O8:H8	3	33.3	Non-EHEC
O130:H11	7	28.6	LEE(-)
O8:H19	15	26.7	LEE(-)
OSB17:H19	16	6.3	LEE(-)
O174:H21	25	4	LEE(-)

<sup>\*</sup>本研究対象血清型

表10. 細胞に付着した株の血清型および各株数

O血清	H血清	細胞付着 株数	eibG 保有株数
074	HUT	1	0
0113	H21	5	0
0115	H10	2	0
0166	H28	1	0
0174	O174 H2		1
	Н8	1	0
	H20	1	0
0183	H18	5	4
OX18	H2	1	0
	H19	1	0
Total		19	5

HUT, H-untypable

表11. Tn-seq解析により選定された30遺伝子

locus_tag	gene	description	output/input
LOCUS_00150	nhaA	pH-dependent sodium/proton antiporter	0.1
LOCUS_01680	glnD	uridylyltransferase	0.2
LOCUS_05580	nmpC	outer membrane porin protein	0.2
LOCUS_07630	tolB	translocation protein TolB	0.1
LOCUS_09230	-	hypothetical protein	0.2
LOCUS_11710	plsX	phosphate acyltransferase	0.2
LOCUS_12020	ycfZ	inner membrane protein	0.2
LOCUS_12350	minD	cell division inhibitor MinD	0.1
LOCUS_12360	minC	septum site-determining protein MinC	0.2
LOCUS_14010	acnA	aconitate hydratase 1	0.2
LOCUS_14160	sapF	antimicrobial peptide ABC transporter ATPase	0.1
LOCUS_14170	sapD	antimicrobial peptide ABC transporter ATPase	0.2
LOCUS_14180	sapC	antimicrobial peptide transport ABC transporter permease	0.1
LOCUS_14190	sapB	antimicrobial peptide transport ABC transporter permease	0.1
LOCUS_17130	nth	endonuclease III	0.2
LOCUS_17540	pykF	pyruvate kinase	0.2
LOCUS_24910	pta	phosphate acetyltransferase	0.1
LOCUS_27150	ppk	polyphosphate kinase	0.2
LOCUS_27270	bamB	BamABCDE complex OM biogenesis lipoprotein	0.2
LOCUS_27870	rseA	anti-sigma factor	0.2
LOCUS_29240	rpoS	RNA polymerase sigma S factor RpoS	0.2
LOCUS_30230	recD	exonuclease V alpha subunit RecD	0.2
LOCUS_30240	recB	exonuclease V beta subunit RecB	0.1
LOCUS_30260	recC	exonuclease V gamma subunit RecC	0.1
LOCUS_31490	tktB_2	transketolase	0.2
LOCUS_33810	deaD	ATP-dependent RNA helicase	0.2
LOCUS_38170	waaF	heptosyltransferase II	0.1
LOCUS_42060	oxyR	oxidative and nitrosative stress transcriptional regulator	0.1
LOCUS_44070	purA	adenylosuccinate synthetase	0.2
LOCUS_44800	pyrB	aspartate carbamoyltransferase	0.2

表12. ゲノム解析により病原性関連遺伝子の検出を行った株

O血清群	H抗原	株数	重症率(%)		
O177	H25, H45, H11	28	42.9		
076	H7	9	44.4		
0172	H25	8	50		
O109	H21, H10	7	14.3		
080	H2	6	16.7		
051	H49	3	33.3		
070	H11	H11 2			
合計		63	38.1		

表13. 重症例由来株から有意に高率に検出された遺伝子

Gene	p-value (2-tail)
katP	0.022
IncFIB	0.024
tssF	0.028
espJ	0.03
upaG/ehaG	0.044

表14. LEE保有マイナー血清群EHECの細胞付着性試験結果

O血清	株数	細胞付着株数(%)
051	5	0
070	2	0
076	34	0
O80	7	2 (28.6)
O109	16	0
0172	12	0
0177	27	13 (46.4)

表15. 非メジャー血清群EHECの血清型別平板培地発育状況

	血清型 (MLST)	株数	CT不含培地				CT含有培地					
分類			DHL	SS	McConkey	XM-G	Vi RX O26 寒天培地	クロモアガー STEC	クロモアガー STEC	CIX 寒天培地	Vi EHEC 寒天培地	XM-EHEC 寒天培地
LEE(+)マイナー	O177:H25 (ST342)	4	赤	赤	赤	紫	青緑	藤色	藤色	青緑	褐色/えんじ色	· · · · · · · · · · · · · · · · · · ·
EHEC	O177:H25 (ST659)	4	白	白	白	青/白	青緑	白~藤	白~藤	紫	緑/えんじ色	青紫
	O76:H7	8	赤	赤	赤	青	青緑	藤色	藤色*	群青*	紫~緑*	青紫*
	O172:H25	8	赤	赤	赤	青	青緑	藤色	-	-	-	-
LEE(-)EHEC	O113:H21	8	赤	赤	赤	青	青緑	藤色	-	-	-	-
	OX21:H19	8	赤	赤	赤	青	青緑	藤色	-	-	-	-
	OX18:H19	8	赤	赤	赤	青	青緑	藤色	-	-	-	-
	O183:H18	8	赤	赤	赤	青	青緑	藤色	_	-	-	-
	O115:H10	8	赤	赤	赤	青	青緑	藤色	-	-	-	_

MLST, Multilocus sequence typing; -, 全株発育なし; \*半数の4株は発育なし

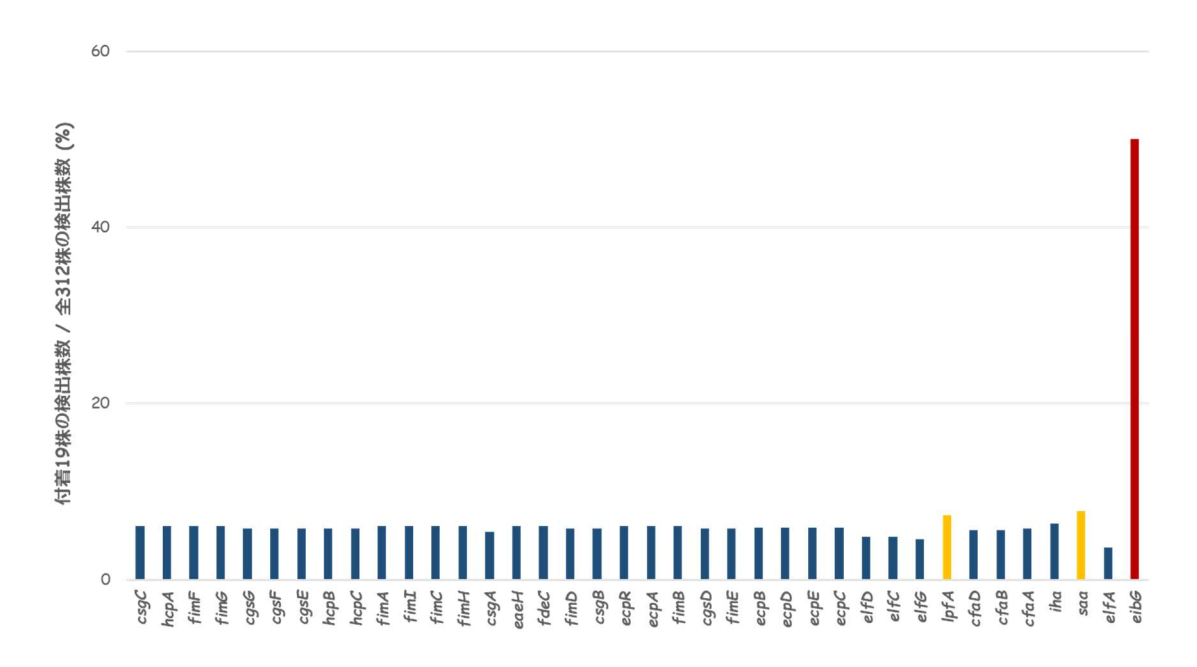


図 1. LEE 非保有 EHEC の細胞付着株と全 312 株の付着関連遺伝子保有率

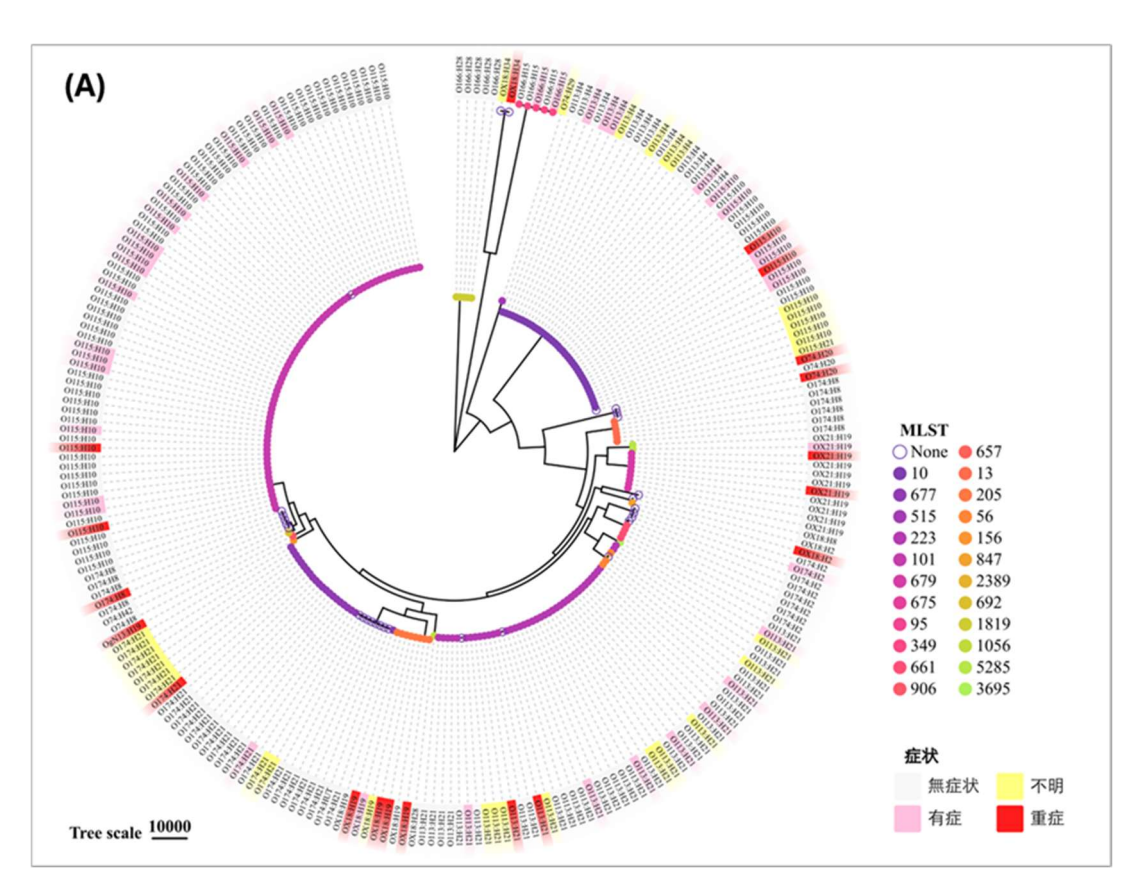


図 2. LEE 非保有 EHEC 株の SNP 抽出による系統解析 菌株ノードの色は MLST を示し、菌株番号の色は症状を示す

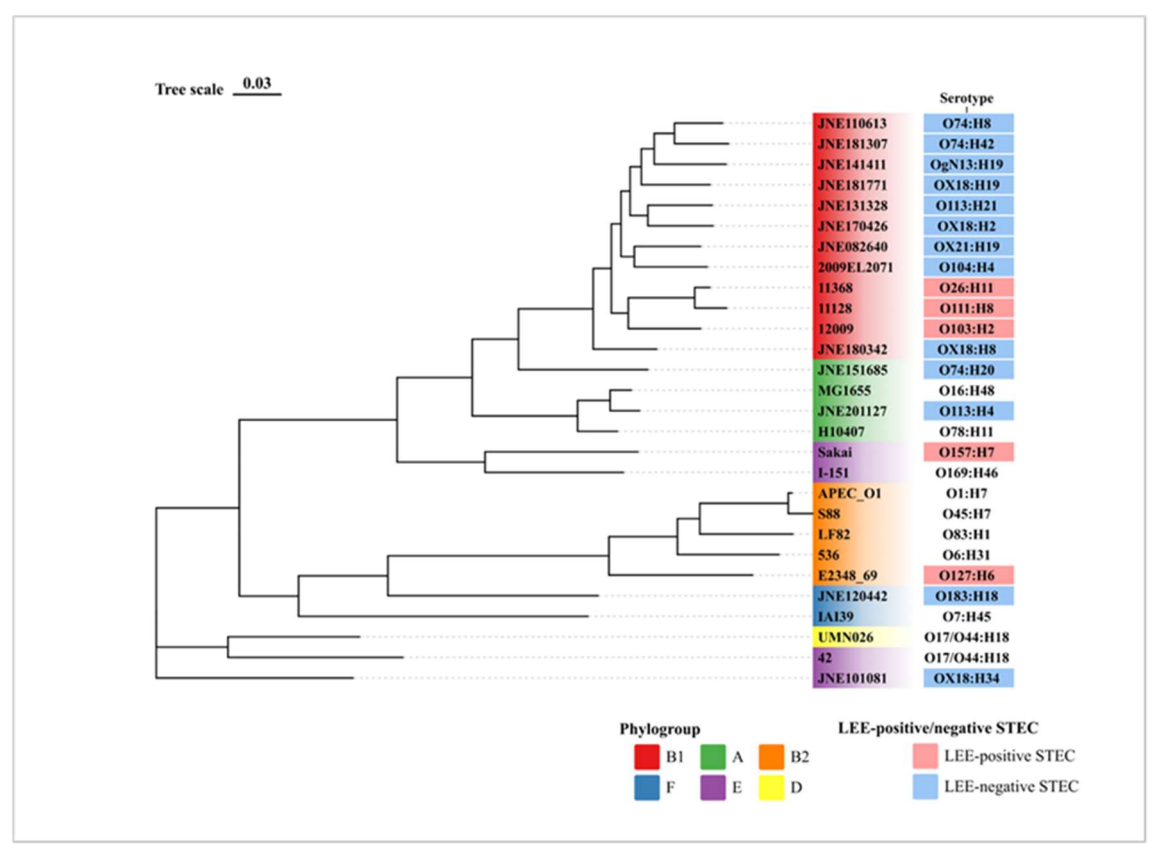


図 3. 各血清型大腸菌の SNP 抽出による系統解析

菌株番号の色は Phylogroup を示し、Serotype の色は LEE 保有の有無を示す

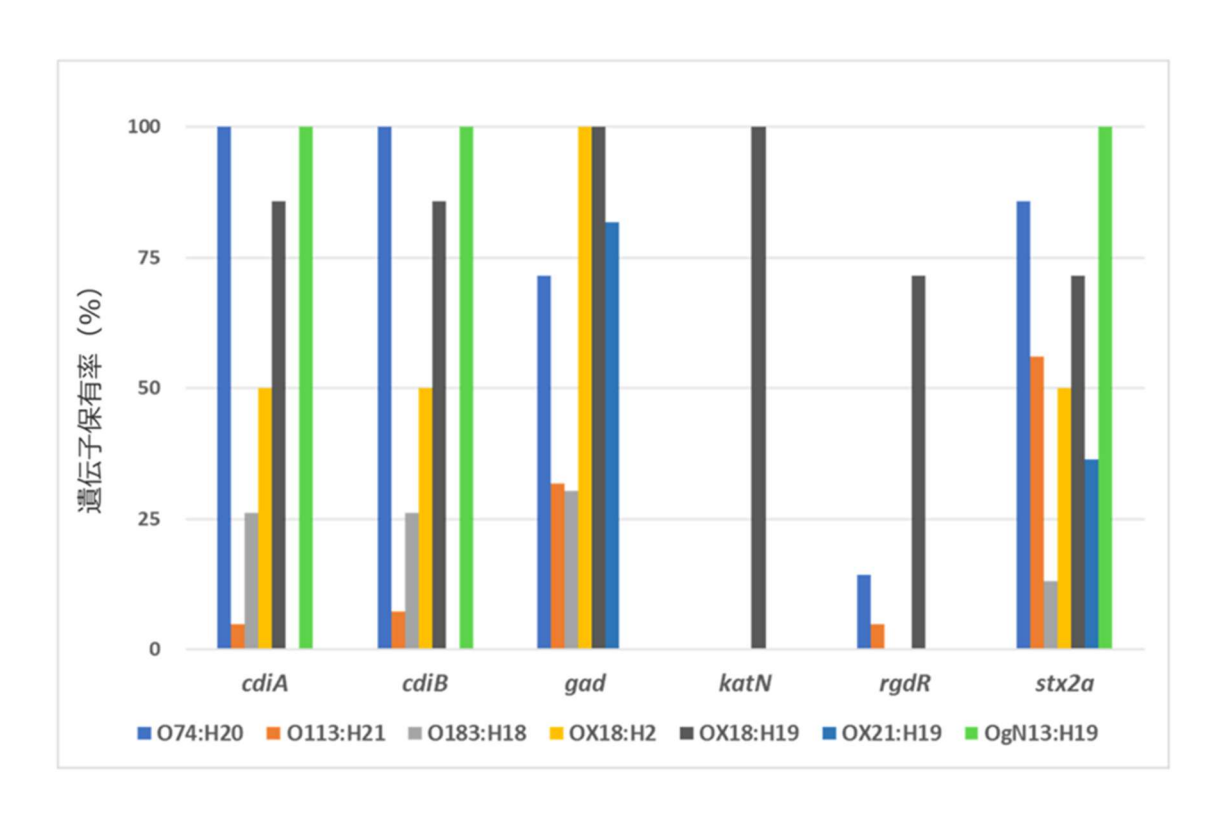


図 4. LEE 非保有 EHEC における血清型別の各遺伝子保有率

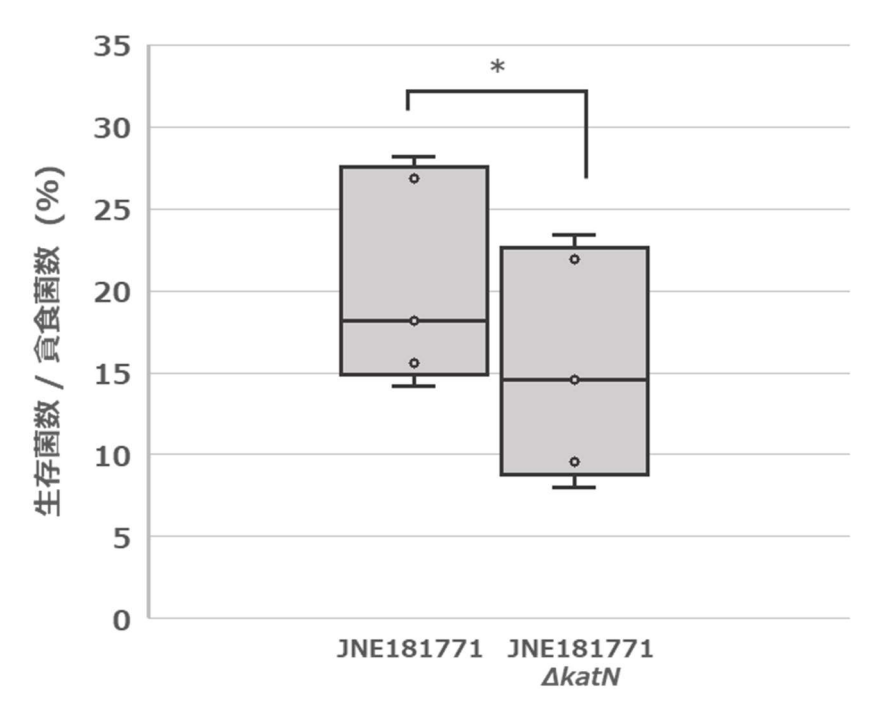


図 5. HUS 症例由来 katN 保有 EHEC (JNE181771) とその katN 破壊株 (JNE181771 $\Delta katN$ ) の RAW264.7 細胞内の 5 時間後の生存率(\*p=0.017)

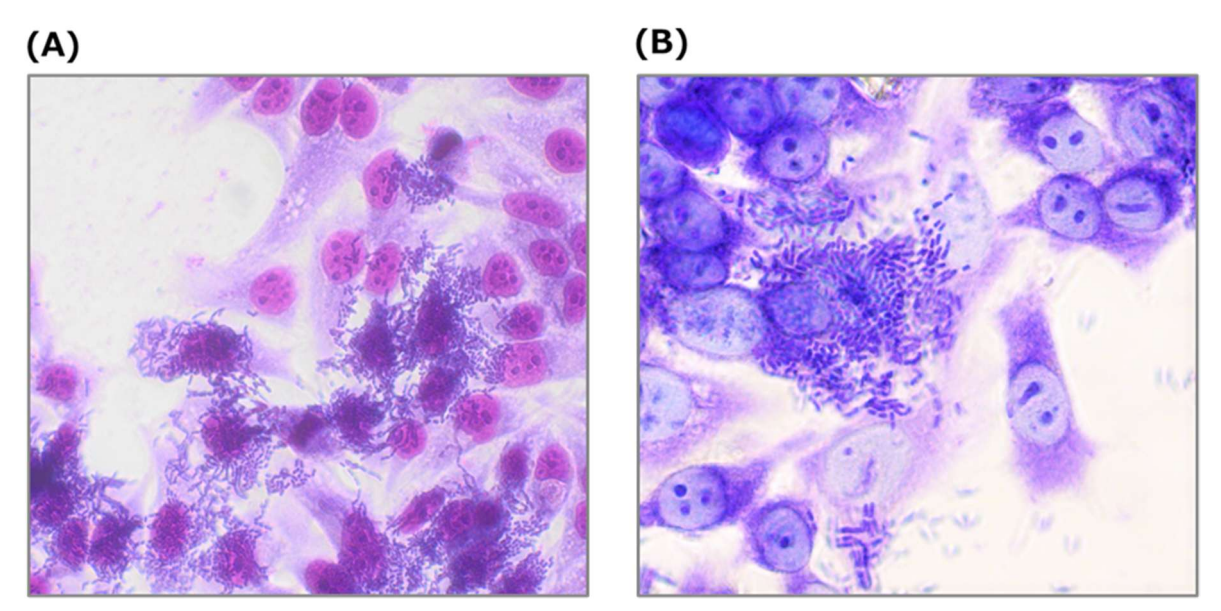


図 6. HEp-2 細胞への付着性試験により Chain-like adherence (CLA) を示した O183:H18 株 (A) と CLA 以外の付着形態を示した O174:H2 株 (B)

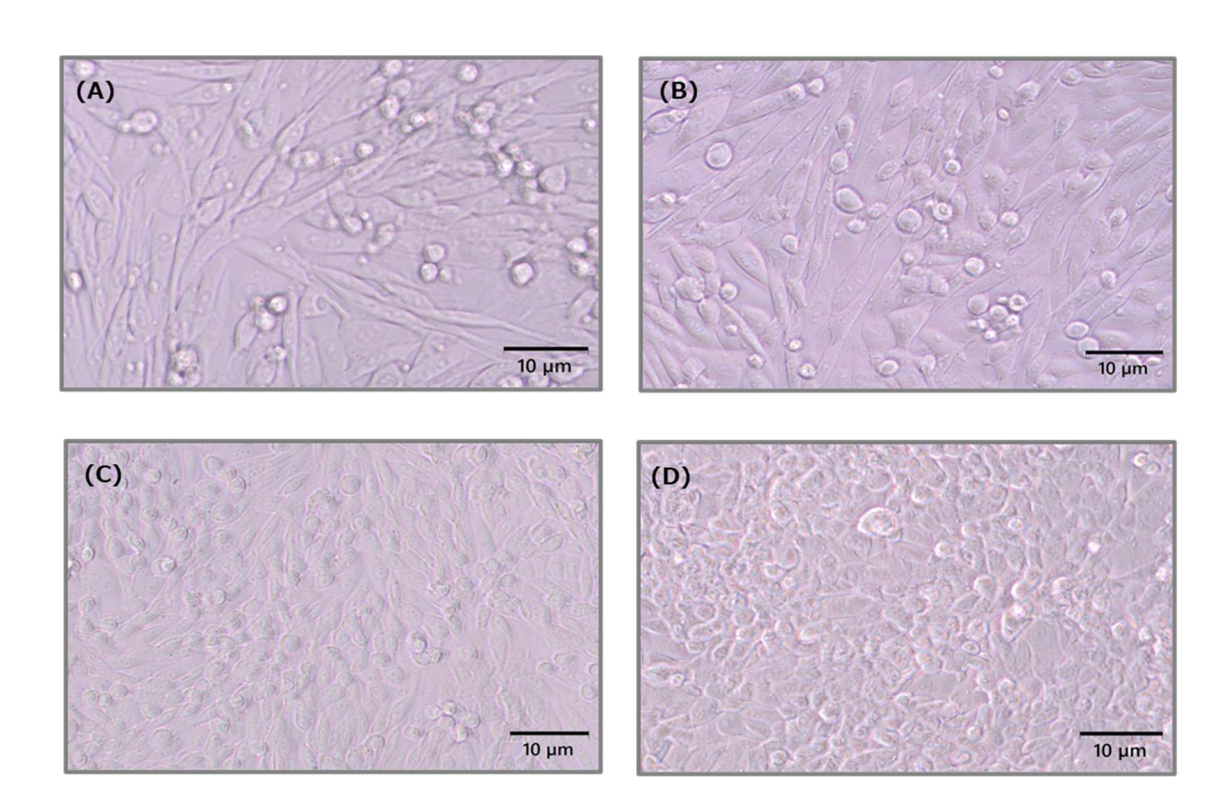


図 7. CHO 細胞の細胞伸長試験により細胞伸長が認められた *cdt* 保有株 JNE131328 (A) と JNE120393 (B)、および陰性対照の *cdt* 非保有株 JNE082640 (C) と菌液非接種コントロール (D)

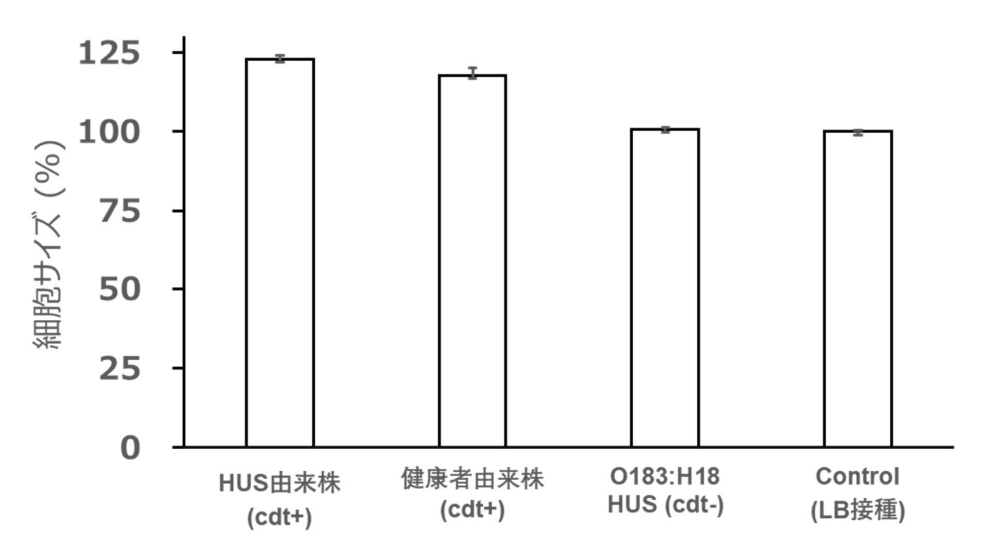


図 8. HUS 症例由来株と健康者由来株の菌液を接種した CHO 細胞の平均細胞サイズ測定結果

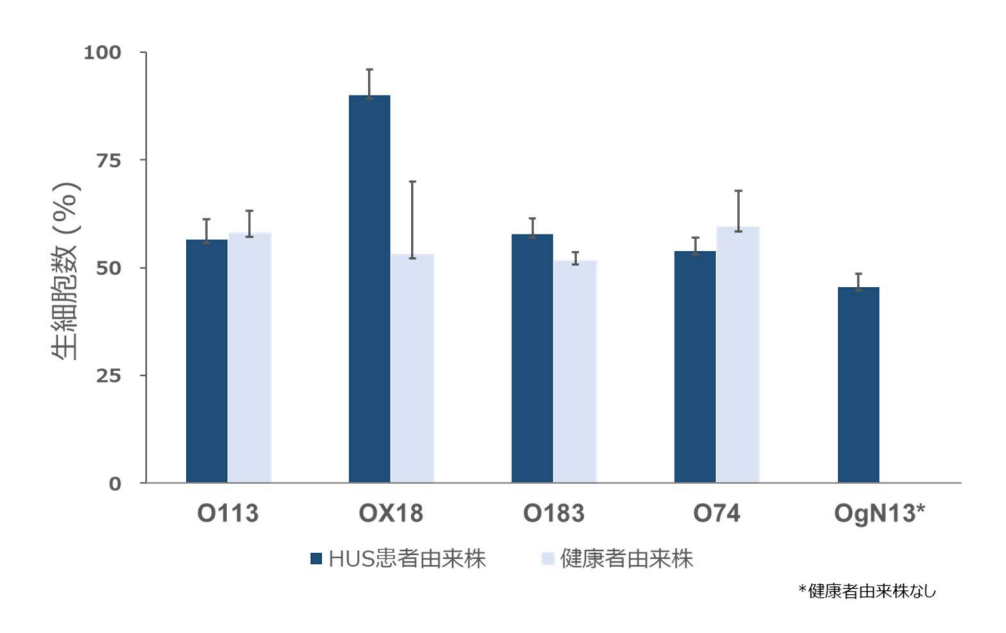


図 9. HUS 症例由来株と健康者由来株の菌液を接種した CHO 細胞の O 血清群別 生細胞数

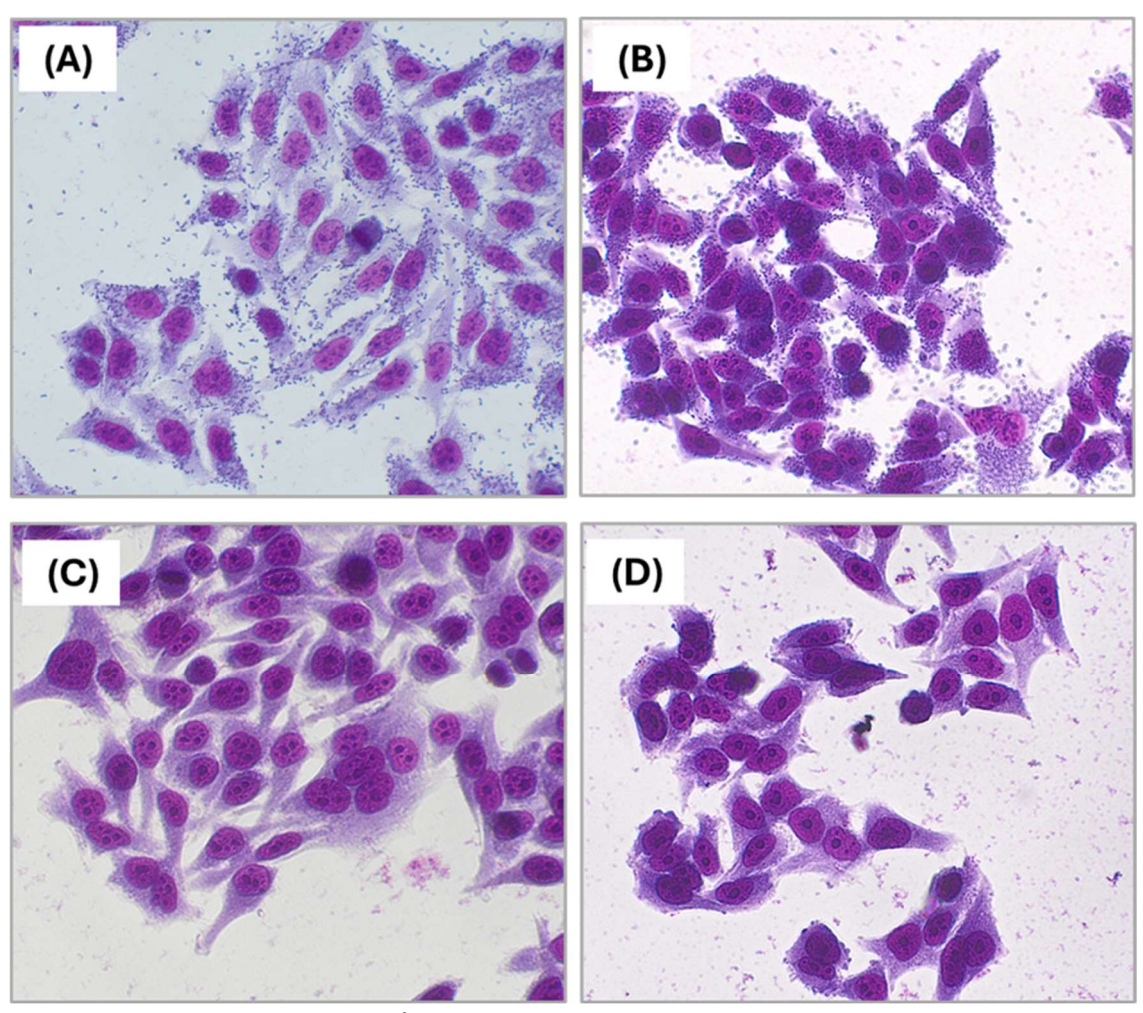


図 10. JNE170426 株のプラスミド (pJNE170426-1, pJNE170426-2) にカナマイシン耐性を付与した株 (A, B)、および各プラスミドを DH10B に導入した株 (C, D) の HEp-2 細胞付着像

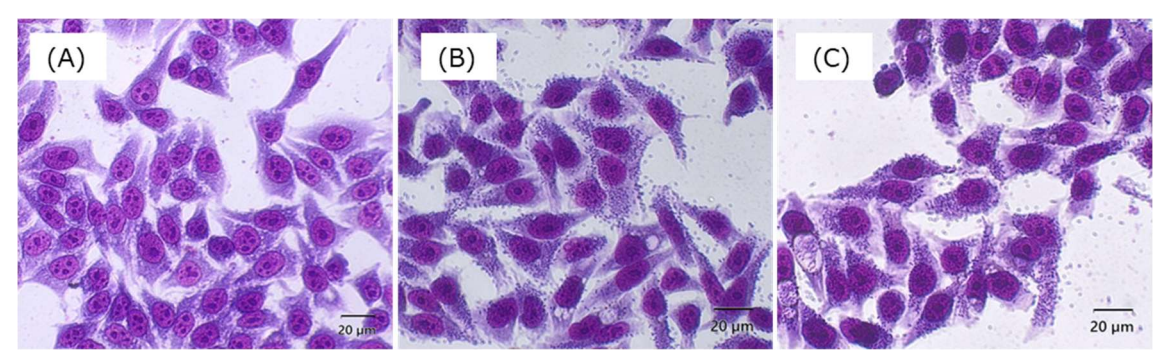


図 11. JNE170426Δ*nmpC*(A)、JNE170426Δ*nmpC*/pMW119-*nmpC* (B)および DH10B/pMW119-*nmpC*(C)の HEp-2 細胞付着像

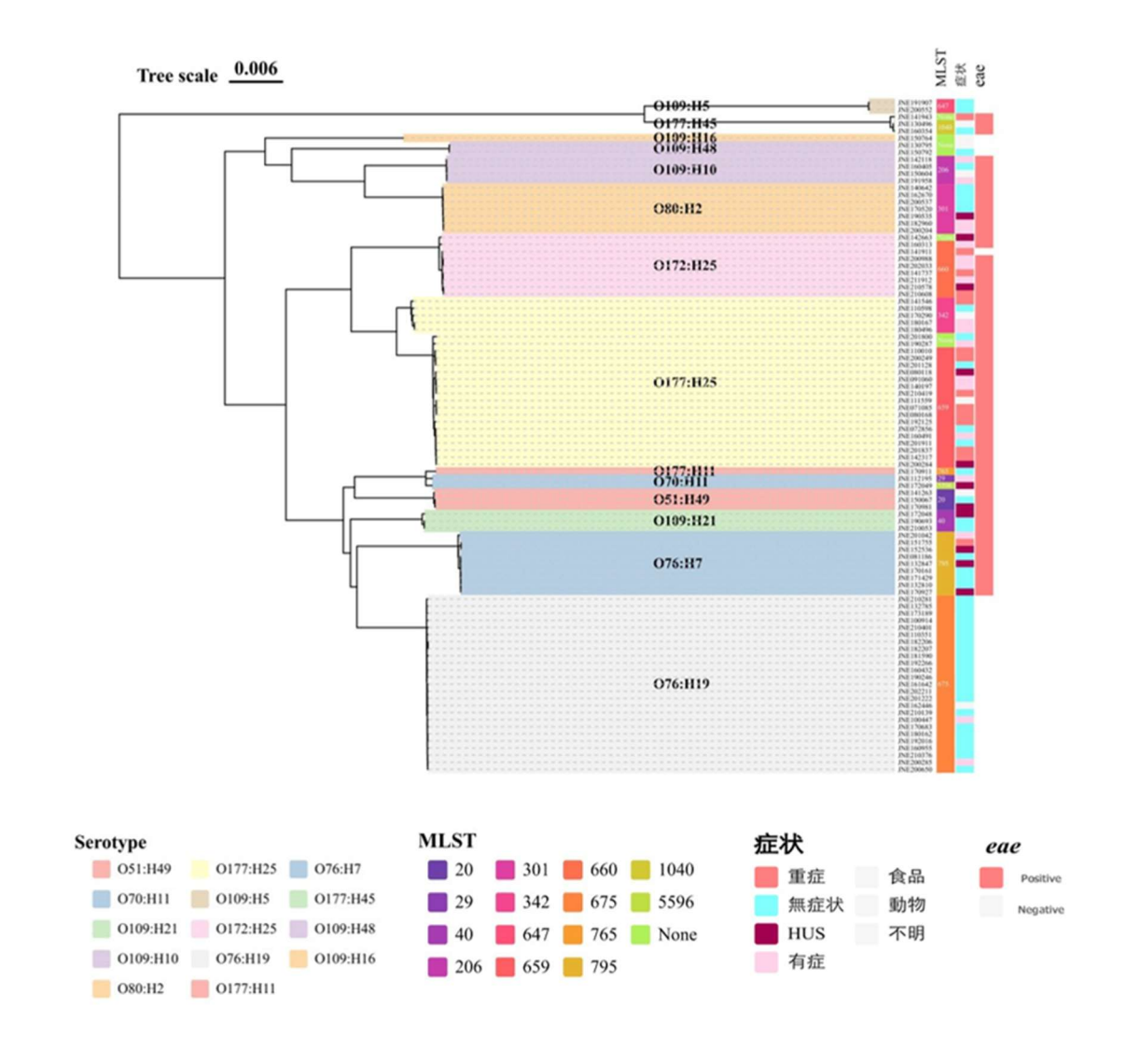


図 12. LEE 保有マイナーEHEC 株の SNP 抽出による系統解析

系統樹の枝の色は血清型を示している

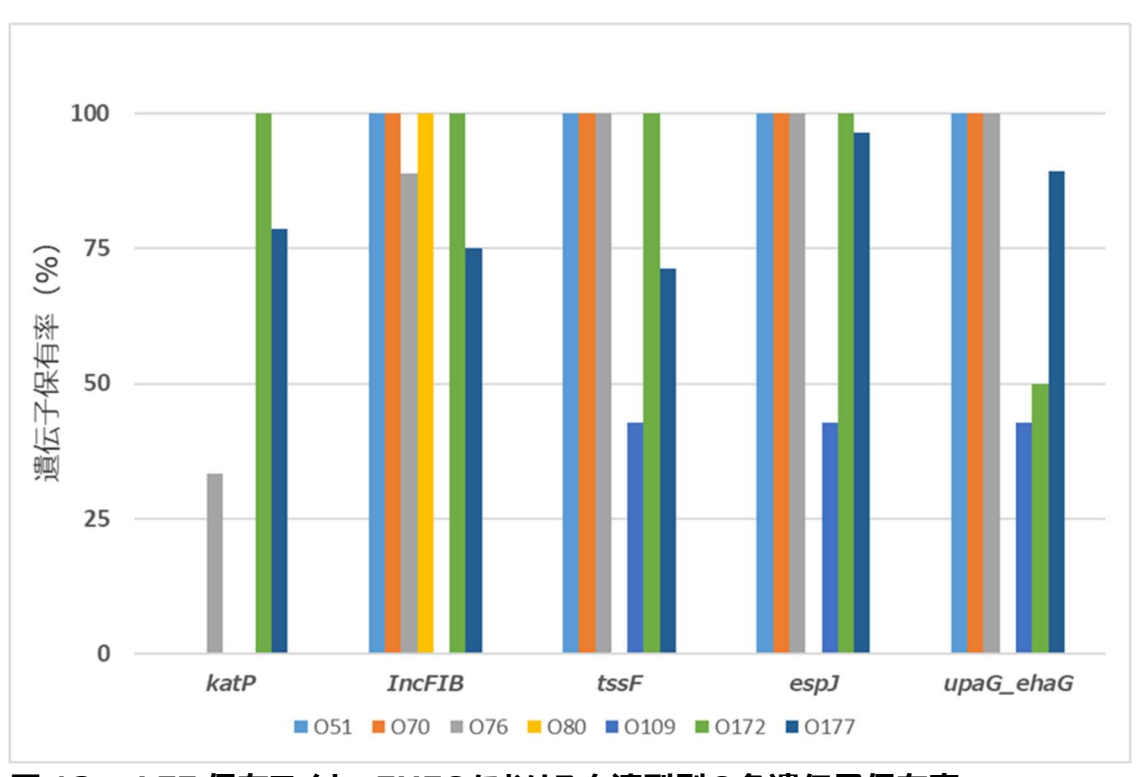


図 13. LEE 保有マイナーEHEC における血清型別の各遺伝子保有率

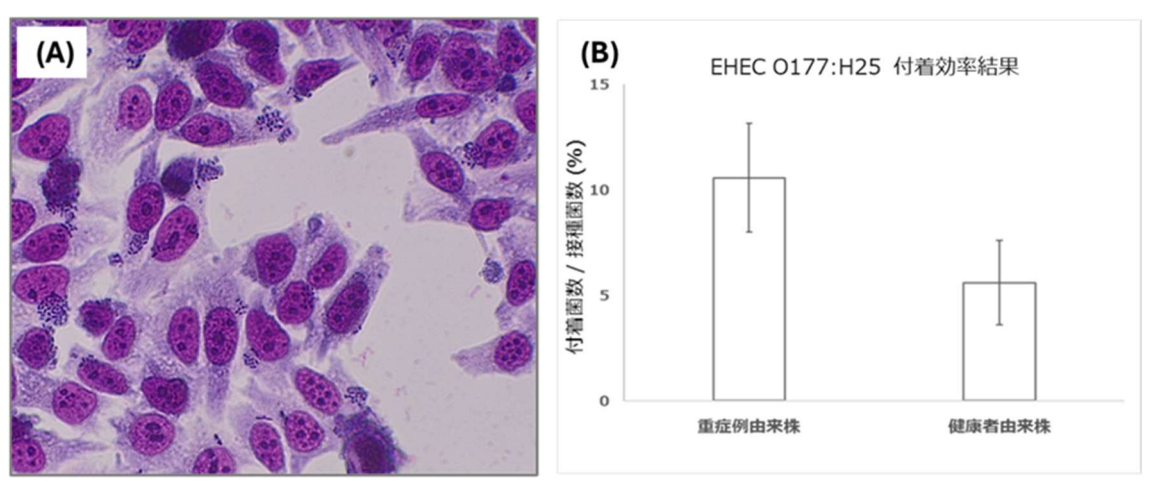


図 14. EHEC O177:H25 の細胞付着像(A)、および重症例と健康者由来株の細胞付着効率結果(B)

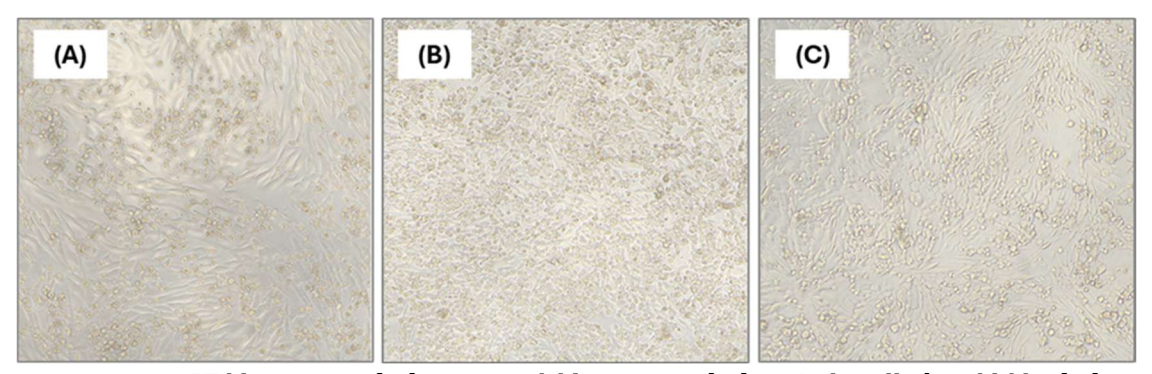


図 15. cdt 陽性 EHEC (A)、cdt 陰性 EHEC (B)、および非病原性株 (C) の 菌液を接種した CHO 細胞 (400 倍画像)

厚生労働省科学研究費補助金 (食品の安全確保推進研究事業) 「非メジャー血清群腸管出血性大腸菌の重症化因子の同定及び 新たな分離検出法確立のための研究」 令和 4-6 年度 分担研究報告書

分担研究課題

「非メジャー血清群腸管出血性大腸菌のゲノム解析」 研究分担者 李 謙一 (国立感染症研究所 細菌第一部)

#### 研究要旨

主要な O 血清群ではない腸管出血性大腸菌(EHEC)の病原性解明のため、HUS を起こした O 血清群の株を対象に全ゲノム配列解析による系統解析、および網羅的な病原性関連遺伝子検出により重症例由来株から高率に検出される遺伝子の特定を行った。解析は EHEC の病原性遺伝子領域である LEE 保有の有無(LEE(+)マイナー血清群および LEE(-)血清群)に分類して実施した。

LEE(-)血清群 EHEC においては、系統解析により同じ O 血清群でも H 抗原が異なる場合には必ずしも近縁ではないことが示され、血清型により病原性等も異なる可能性が考えられた。網羅的な遺伝子検出により重症例由来株から cdiAB, gad, katN, rgdR, stx2 が有意に高率に検出され、stx2 は全ての血清型から検出された。LEE(+)マイナー血清群 EHEC においては、系統解析により O76 および O109 の一部の H 抗原型で LEE 非保有系統も確認されたが、そのうち LEE 保有系統のみ重症例由来株が含まれていた。また、HUS 症例由来株の全株から stx2 が検出され、非メジャー血清群 EHEC においても stx2 は重症化に寄与している可能性が示唆された。網羅的な病原遺伝子検出により重症例由来株から高率に検出された遺伝子のうち、katP は重症率の高い O 血清群からのみ検出され、LEE(-)血清群 EHEC の重症例から高率に検出された katN においても、重症率が高い複数の血清型が高率に保有していることが明らかとなり、抗酸化に関与する因子は非メジャー血清群 EHEC のうち特定の血清型において重症化に寄与している可能性が示唆された。

#### A. 研究目的

腸管出血性大腸菌(enterohemorrhagic Escherichia coli: EHEC)は食中毒や腸管感染症の原因微生物の1つであり、重症例では血便や溶血性尿毒症症候群(HUS)を発症し、死者も報告されることから公衆衛生上重要な微生物である。

国内で分離される EHEC の 90%以上は、 主要 7 血清群 (O157, O26, O111, O121, O145, O103, O165) であるが、主要血清群 ではない血清群 (以下、非メジャー血清群) についても重症例や死亡例が国内外で報 告されていることから、非メジャー血清 群の EHEC についても着目していく必要 性がある。

非メジャー血清群 EHEC は病原性遺伝 子領域 locus of enterocyte effacement (LEE) を保有しない血清群 (LEE(-)血清群) と、 LEE を保有するが主要ではない血清群 (LEE(+)マイナー血清群) の EHEC に分 類することができる。

本研究では、国内で分離された過去 15年分の非メジャー血清群 EHEC について LEE(-)血清群および LEE(+)マイナー血清 群に分けて全ゲノム配列(whole-genome sequence: WGS)の取得を行う。さらに取得した WGS を用いてゲノム解析を行い系統解析による高病原性系統の抽出、および網羅的な病原性関連遺伝子の検出等により重症例と関連する遺伝子の特定を試みる。

#### B. 研究方法

## 1. LEE(-)血清群 EHEC の解析

#### 1-1. WGS 解析

2007-2021 年に国内で分離された LEE(-)血清群 EHEC のうち、HUS を起こ した 〇 血清群を中心とした 9 種類の 〇 血 清群(O74, O113, O115, O163, O166, O174, O183, OX18, OUT) に属する 328 株を解析 対象株とした。328株のうち WGS 解析が 未実施である 209 株について、HiSeqX (illumina) を用いて WGS 解読を行い、 得られたシークエンスデータを使用して 網羅的に病原性関連遺伝子の検出を行う ことで確実に LEE(-)血清群 EHEC 研究対 象株の選定を行った。遺伝子検出方法は、 アセンブル後のドラフトゲノムを用いて Center for Genomic **Epidemiology** (http://www.genomicepidemiology.org/), \$\square\$ よび The Virulence Factor Database (http://www.mgc.ac.cn/VFs/main.htm) で検出されている病原性関連遺伝子を中心とした独自のデータベース上の遺伝子を対象にBLASTnにてアライメント長 60%以上、類似性 90%以上の遺伝子が検出された場合を保有と判定した。さらに検出された病原性関連遺伝子のうち細胞付着関連遺伝子に着目し、保有状況の確認を行った。

#### 1-2. 系統解析と保有遺伝子の比較解析

1-1 で取得した WGS データを使用して Multilocus sequence typing (MLST) による ST の特定、および SNP 抽出による系統樹 の作製を行った(表1)。さらに、重症化 に関与する可能性のある遺伝子を特定す るため、HUS 症例由来株と同じ血清型 ( O74:H20, O113:H21, O183:H18, OX18:H2, OX19:H19, OX21:H19, OgN13:H19) であることが確認された 92 株 (表 2) を重症例から分離された 13 株 (重症株)とそれ以外の79株(非重症株) に区分して遺伝子保有状況の比較解析を 行い、カイ二乗検定において重症例から 有意に高率に検出される遺伝子の抽出を 行った。抽出された各遺伝子については、 解析対象とした92株の血清型別保有率も 確認した。

# 1-3. ゲノム解析による *katN* 保有状況調 査

1-2 で重症例から高率に検出された *katN* について、所内に保管される non-EHEC を含む大腸菌 4522 株 (287 血清型) を対象にゲノム解析により保有状況調査

を行った。

## 1-4. 完全長ゲノム配列の取得

HUS 症例由来株 9 株のうち 4 株について PacBio Sequel IIe による解読を行い(表3)、得られたロングリードシークエンスおよびショートリードシークエンスをTrycycler および Unicycler を用いたハイブリッドアセンブリで完全長ゲノム配列の決定を行った。取得した完全長ゲノム配列から保有するプラスミドのサイズやプラスミド上にコードされる主な病原性関連遺伝子等の確認を行った。

# LEE(+)マイナー血清群 EHEC の解析 WGS 解析

2007-2021 年に国内で分離された主要 7 血清群以外の O 血清群に属する LEE(+)血 清群 EHEC で HUS を起こした 7 種類の O 血清群 (O51, O70, O76, O80, O109, O172, O177) に属する 103 株を解析対象株とし、 HiSeqX (illumina) を用いて WGS 解読を 行った。さらに、対象株のうち HUS 症例 由来株である 11 株についてはゲノム解析 により EHEC の主な毒素遺伝子(stx1, stx2, ehxA, cdt, sub) の保有状況の確認を行った。

#### 2-2. 系統解析と保有遺伝子の比較解析

2-1 で取得した WGS データの解析により、HUS 症例由来株と関連する 7 種類のO 血清群であった 95 株 (表 4) を対象として、MLST による ST の特定、およびSNP 抽出による系統解析を行った。さらにゲノム解析により eae 保有状況の特定も行った。さらに、 LEE(+)マイナー血清群 EHEC の重症化に関与する遺伝子を特

定するため、95 株のうち eae が検出された株を LEE 保有株として網羅的な病原性関連遺伝子検出を行った。病原性関連遺伝子検出は、1-1 と同様の方法で行った。さらに検出された病原遺伝子について、1-2 と同様の方法により重症例から有意に高率に検出される遺伝子を特定した。特定された遺伝子について O 血清群別の保有率も算出した。

#### C. 研究結果

#### 1. LEE(-)血清群 EHEC の解析

#### 1-1. WGS 解析

328 株の WGS から網羅的に保有遺伝子 の検出を行い、312 株の LEE(-)血清群 EHEC の選定を行った。選定された株で症 状が確認可能であった 278 株のうち 76 株 (27.3%) が有症例、22株 (7.9%) が血便 等の重症例由来株であった(表 5)。312株 からは 293 種類の病原性関連遺伝子が検 出され、そのうち53種類は細胞付着関連 遺伝子であった (図 1)。1 つの株からは 18~46 種類の付着関連遺伝子が検出され、 LEE(-)血清群 EHEC に特異的な付着関連 遺伝子である saa と eibG はそれぞれ 90 株(28.8%) と8株(2.6%) から検出され た。さらに、検出された53種類の細胞付 着関連遺伝子を機能的に関連する遺伝子 を1つにまとめることで17の遺伝子に分 類し、各遺伝子の検出状況を O 血清群別 に図2に示した。17遺伝子のうち7遺伝 子は全ての O 血清群から検出されたが、 一方で paa (O115) や f17 (O174) は特定 の O 血清群からのみ検出され、elf(O183), lpfA (O166)、saa と iha (O115) は特定の 遺伝子でのみ不検出となった。

#### 1-2. 系統解析と保有遺伝子の比較解析

系統解析により高病原性が示唆される 系統は確認されなった(図3)。しかし、 各血清型の代表 1 株と代表的な大腸菌株 について系統解析を行った結果、同じ O 血清群であっても H 抗原型が異なる場合 は必ずしも近縁ではないことが確認され、 病原性等の特徴も異なる可能性が考えら れた(図4)。HUS症例由来株と同じ血清 型に属していた株について網羅的に病原 性関連遺伝子の検出を行った結果、92株 から 228 種類の遺伝子が検出された。さ らに重症株と非重症株に区分して遺伝子 保有状況を比較した結果、重症株から cdiAB, gad, katN, rgdR, stx2 が有意に(p < 0.05) 高率に検出された (表 6)。 検出され た遺伝子のうち stx2 は全ての血清型から 検出され、cdiAB と katN についてはそれ ぞれ O74:H20 と OX18:H19 の全株から検 出された(図5)。

# 1-3. ゲノム解析による *katN* 保有状況調査

5422 株を対象に保有状況調査を行った 結果、21 の血清型(OUT および HUT 除 く)から *katN* が検出された(表 7)。本研 究対象血清型では O172:H25, O177:H25, OX18:H19 の 3 つの血清型が含まれてお り、重症率はそれぞれ 50.0%, 45.8%, 57.1% であった。

### 1-4. 完全長ゲノム配列の取得

HUS 症例由来株についてロングリード シークエンスを行い、新たに 4 株の完全 長ゲノム配列を決定した。さらに、既に取 得済みの4株と合わせた8株のHUS 症例由来株の完全長ゲノム配列を使用して、保有する染色体やプラスミドのサイズ等確認を行った結果、いずれの株も巨大プラスミド(131~174kb)の保有が確認され、プラスミド上には共通して saa や espP など複数の病原性関連遺伝子が検出された(表8)。

# LEE(+)マイナー血清群 EHEC の解析 WGS 解析

HUS 症例由来 11 株を対象に EHEC の 主な毒素遺伝子を検出した結果、全ての 株から stx2 が検出され、ehx と cdt はそれ ぞれ 8 株および 3 株から検出されたが、 sub はいずれの株からも検出されなかっ た。

#### 2-2. 系統解析と保有遺伝子の比較解析

系統解析により LEE(+)マイナー血清群 EHEC においても、同じ O 血清群のうち H 抗原型が異なる場合は必ずしも近縁で はなく、STも異なることが確認された(図 6)。また、O76 および O109 においては H 抗原型の違いにより eae 保有の有無が異 なり、いずれも eae 保有系統からのみ HUS 発症例および重症例が確認された。 eae 不 検出株等を除いた 63 株の LEE(+)マイナ 一血清群 EHEC 株 (表 9) を対象として網 羅的に病原性関連遺伝子の検出を行った 結果、63 株から 309 種類の遺伝子が検出 された。さらに 63 株のうち 24 株を重症 株、39株を非重症株に区分して遺伝子保 有状況を比較した結果、重症株から katP, IncFIB, tssF, espJ, upaG/ehaG が有意に(p < 0.05) 高率に検出された(表 10)。O血 清群別の遺伝子保有率では、*katP* は比較的重症率の高い 3 つの O 血清群 (O177, O172, O76) からのみ保有が確認された (図7)。

#### D. 考察

LEE 保有の有無により EHEC の病原性 機序や遺伝子保有状況は異なることが知 られているが、本研究において HUS 症例 由来株を対象とした EHEC の主な毒素遺 伝子の検出では、LEE(-)血清群 EHEC の 8 株から検出された sub が、LEE(+)マイナ 一血清群 EHEC の11 株では不検出になる など、HUS 症例由来株においても一部の 遺伝子で保有状況が異なることが確認さ れた。さらに、HUS 症例由来 LEE(-)血清 群 EHEC の完全長ゲノム配列の解析によ り、共通して巨大プラスミドの保有が確 認された。さらに巨大プラスミド上には 複数の共通する病原性関連遺伝子が検出 されたことから、巨大プラスミドが LEE(-)血清群 EHEC の重症化に関与して いる可能性がある。しかし、巨大プラスミ ドの保有はHUS症例由来株以外でも確認 されていることから、巨大プラスミドの 重症化への寄与については、症状別にゲ ノム配列を比較するなどの詳細な解析が 必要であると考えられた。

LEE(-)血清群 EHEC の各解析対象株から複数の細胞付着関連遺伝子が検出され、一部は O 血清群により保有状況が異なる可能性が示唆された。しかし、検出された各細胞付着関連遺伝子が発現し、実際に細胞への付着性に寄与するかについては、別の手法で検証し確認を行う必要性がある。また、O 血清群別の保有状況では O115

のみ saa と iha が不検出となった。saa や iha は巨大プラスミド上にコードされて いる遺伝子であるため、O115 においては 巨大プラスミドを保有しない可能性も示唆された。

LEE(-)血清群 EHEC の重症化に関与す る因子は血清型により異なる可能性が示 唆された。系統解析において、血清型によ り系統が異なることが示唆されたことか ら、重症化因子も血清型により異なる可 能性が考えられる。また網羅的な遺伝子 検出により重症例から高率に検出された cdiAB および katN は特定の血清型からの み検出された。しかし、これら遺伝子が重 症化に関与しているか評価するためには、 各遺伝子の発現状況や表現型の確認など 別の手法による解析が必要となる。一方 で、stx2については全ての血清型から検出 され、また、LEE(+)マイナー血清群 EHEC のHUS症例由来株の全株から共通して検 出されたことから、stx2 は非メジャー血清 群 EHEC においても重症化に寄与してい る可能性が示唆された。

同一 O 血清群では eae 保有系統の方が 病原性は高い傾向が本研究においても示 唆された。eae 保有株は、LEE 保有株であ ると考えられるため、LEE 領域内の他の 複数の病原性関連遺伝子も併せて保有し ていることが示唆される。下痢原性大腸 菌の病原性と保有する病原遺伝子数に関 連性があることも既に報告されており、 本研究においても LEE(+)マイナー血清群 EHEC から検出される病原性関連遺伝子 の種類 (309 種類) は、LEE(-)血清群 EHEC (228 種類) よりも多い。また O76 およ び O109 において、HUS 症例や重症例が eae 保有系統からのみ確認されるなど eae 非保有系統に比べ病原性が高いことが示 唆された。

酸化ストレスに対する防御機能に関与 する因子は特定の血清型の非メジャー血 清群 EHEC において、重症化との関連が 示唆された。重症例から高率に検出され たカタラーゼ-ペルオキシダーゼをコード する katP、およびカタラーゼ遺伝子の1 つである katN が確認された。さらに、こ れら遺伝子はいずれも本研究対象株のう ち比較的重症率の高い O 血清群または血 清型からのみ検出されることも明らかと なった。そのため、非メジャー血清群 EHEC から検出されるカタラーゼ関連遺 伝子は重症化因子の1つである可能性も 示唆されるが、実際にこれらの遺伝子が 発現し酸化ストレス防御に寄与している かについては、別の手法により解析を行 う必要があると考える。

### E. 結論

非メジャー血清群においても同一 O 血清群では eae 保有系統の方が病原性が高い傾向が示唆された。また非メジャー血清群の EHEC においても stx2 が重症化に寄与している可能性が示唆され、さらに特定の血清型の EHEC においては酸化ストレスに対する防御機能に関与する因子が重症化と関連している可能性が示唆された。

#### F. 健康危険情報

なし

#### G. 研究発表

#### 1) 誌上発表

Kubomura A, Lee K, Ohnishi M, Iyoda S, Akeda Y, EHEC Working Group. Complete genome sequence of eight LEE-negative Shiga toxin-producing *Escherichia coli* strains isolated from patients with hemolytic-uremic syndrome. *Microbiol Resour Announc*. 2023 Dec 20:e0059123.

#### 2) 学会発表

- 1. 窪村亜希子、李謙一、伊豫田淳、明田幸宏 LEE非保有の腸管出血性大腸菌における細胞付着性の解析 第96回日本細菌学会総会(2023年3月16-18日)ポスター発表
- 2. 窪村亜希子、李謙一、伊豫田淳、明田幸宏 LEE非保有の腸管出血性大腸菌の細胞付着性と全ゲノム配列解析 第166回日本獣医学会学術集会(2023年9月5-8日)
- 3. 窪村亜希子、李謙一、伊豫田淳、明田幸宏 LEE非保有腸管出血性大腸菌感染症の重症化に関与する因子特定のための解析 第97回日本細菌学会総会(2024年8月8日)

#### H. 知的財産権の出願・登録状況

1. 特許取得

なし

2. 実用新案登録

なし

表1. SNP抽出による系統樹作製を行った株

O血清群	株数
074	10
0113	74
0115	115
0166	10
0174	51
0183	24
OX18	14
OX21	11
OUT	1

表2. ゲノム解析により病原性関連遺伝子の検出を行った株

血清型	株数	重症株数	重症率 (%)
O74:H20	7	2	28.6
O113:H21	41	2	4.9
O183:H18	23	1	4.3
OX18:H2	2	1	50
OX18:H19	7	4	57.1
OX21:H19	11	2	18.2
OgN13:H19	1	1	100
Total	92	13	14.1

表3. HUS患者由来株のPacBio解析対象株と保有する主な病原性関連遺伝子

Strain ID	血清型	PacBio _	主な病原性関連遺伝子			
Strain 1D	皿月至	解析株	saa	cdt	sub	
JNE082640	OX21:H19	•	+	-	+	
JNE131328	O113:H21	•	+	+	+	
JNE170426	OX18:H2	•	+	-	+	
JNE181771	OX18:H19	•	+	-	+	
JNE120393	O113:H21		+	+	+	
JNE120442	O183:H18		+	-	+	
JNE151685	O74:H20		+	-	+	
JNE141411	OgN13:H19		+	-	+	
JNE140672	O115:H10		-	-	-	

表4. SNP抽出による系統樹の作製を行った株

O血清群	株数
O51	3
O70	2
076	34
O80	7
O109	12
0172	9
O177	28
Total	95

表5. 選定した312株のLEE非保有EHEC

O血清群	株数	症状確認株数	有症者数(%)	重症者数(%)
074	12	11	3 (27.3)	2 (18.2)
0113	74	59	15 (25.4)	2 (3.4)
0115	115	109	35 (32.1)	6 (5.5)
0163	11	11	3 (27.3)	2 (18.2)
0166	10	10	2 (20.0)	0 (0.0)
0174	51	42	5 (11.9)	2 (4.8)
0183	24	23	5 (21.7)	1 (4.3)
OX18	14	12	7 (58.3)	6 (50.0)
OUT	1	1	1 (100)	1 (100)
合計	312	278	76 (27.3)	22 (7.9)

表6. 重症例由来株から有意に検出された遺伝子

Gene	p-value (2-tail)
cdiA	0.003157
gad	0.003307
cdiB	0.004481
katN	0.007391
rgdR	0.01384
stx2a	0.01923

表7. ゲノム解析による各血清型大腸菌のkatN 保有状況調査結果

血清型	解析株数	保有率 (%)	備考
O157:H7	1548	99.9	LEE(+)
O5:H9	31	100	LEE(+)
O172:H25*	15	100	LEE(+), 重症率50%
O165:H25	17	94.1	LEE(+)
OX18:H19*	22	90.9	LEE(-), 重症率57.1%
O177:H25*	17	88.2	LEE(+), 重症率45.8%
O3:H21	3	100	LEE(-)
OX25:H8	2	100	LEE(-)
O148:H10	1	100	LEE(-)
O157:H19	1	100	LEE(+)
O154:H31	1	100	LEE(-)
O50/O2:H5	1	100	LEE(-)
O50/O2:H6	5	60	LEE(-)
O74:H25	2	50	LEE(+)
O104:H2	2	50	LEE(-)
OgN5:H16	2	50	LEE(-)
O8:H8	3	33.3	Non-EHEC
O130:H11	7	28.6	LEE(-)
O8:H19	15	26.7	LEE(-)
OSB17:H19	16	6.3	LEE(-)
O174:H21	25	4	LEE(-)

<sup>\*</sup>本研究対象血清型

表8. HUS患者由来株の染色体と保有するプラスミドサイズ

Strain ID	血清型	系統	染色体 (Mbp)	プラスミドサイズ (kbp)	主な共通病原因子
JNE082640	OX21:H19	B1	4.9	167, 8, 7, 2, 2	saa, ehxA, espP, sub
JNE131328	O113:H21	B1	5	161, 15, 7, 2	saa, ehxA, espP, sub, cdt
JNE170426	OX18:H2	B1	5	159, 86, 7	saa, ehxA, espP, sub
JNE181771	OX18:H19	B1	4.9	131, 89	saa, ehxA, espP, sub
JNE120393	O113:H21	B1	5.1	161, 8, 7, 4, 3, 2, 2	saa, ehxA, espP, sub, cdt
JNE120442	O183:H18	B2	5	161	saa, ehxA, espP, sub
JNE151685	O74:H20	Α	5	174, 61, 7	saa, ehxA, espP, sub
JNE141411	OgN13:H19	B1	5.1	174	saa, ehxA, espP, sub

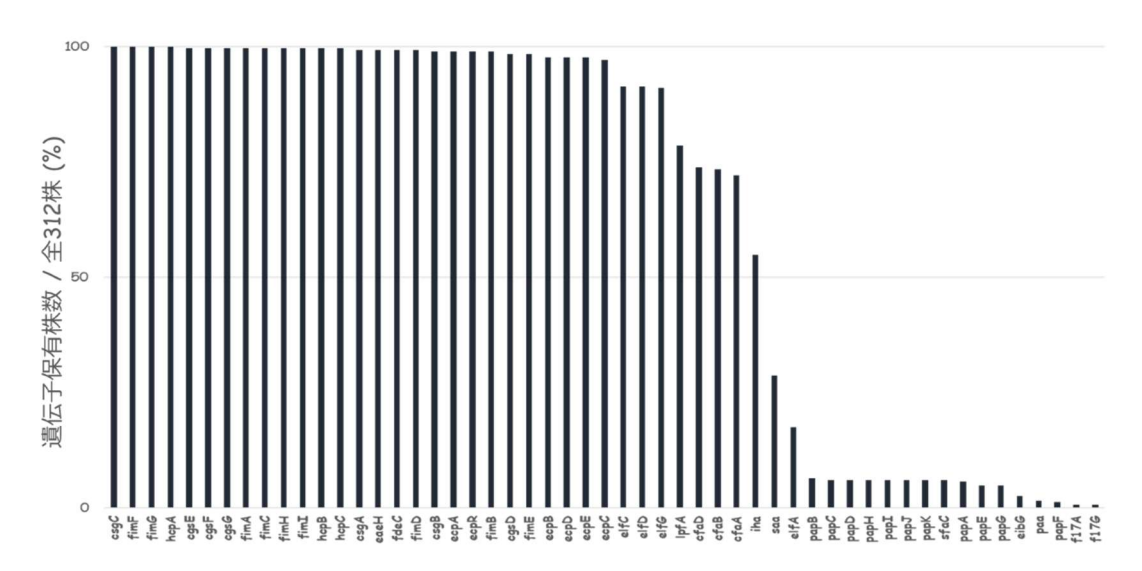
表9. ゲノム解析により病原性関連遺伝子の検出を行った株

O血清群	H抗原	株数	重症率(%)
0177	H25, H45, H11	28	42.9
076	H7	9	44.4
0172	H25	8	50
O109	H21, H10	7	14.3
080	H2	6	16.7
O51	H49	3	33.3
070	H11	2	50
合計		63	38.1

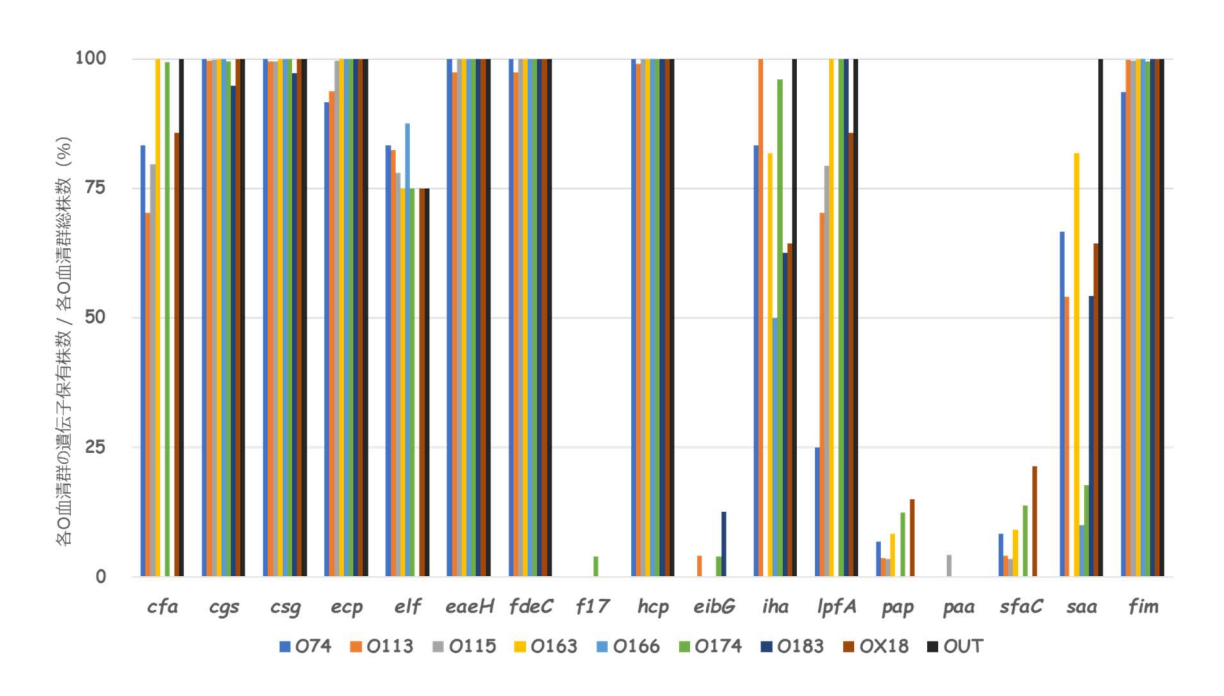
表10. 重症例由来株から有意に高率に検出された遺伝子

Gene	p -value (2-tail)
katP	0.022
IncFIB	0.024
tssF	0.028
espJ	0.03
upaG/ehaG	0.044

# 図 1. LEE 非保有 EHEC 312 株の各付着関連遺伝子検出状況



# 図 2. 各付着関連遺伝子の 0 血清群ごとの保有率



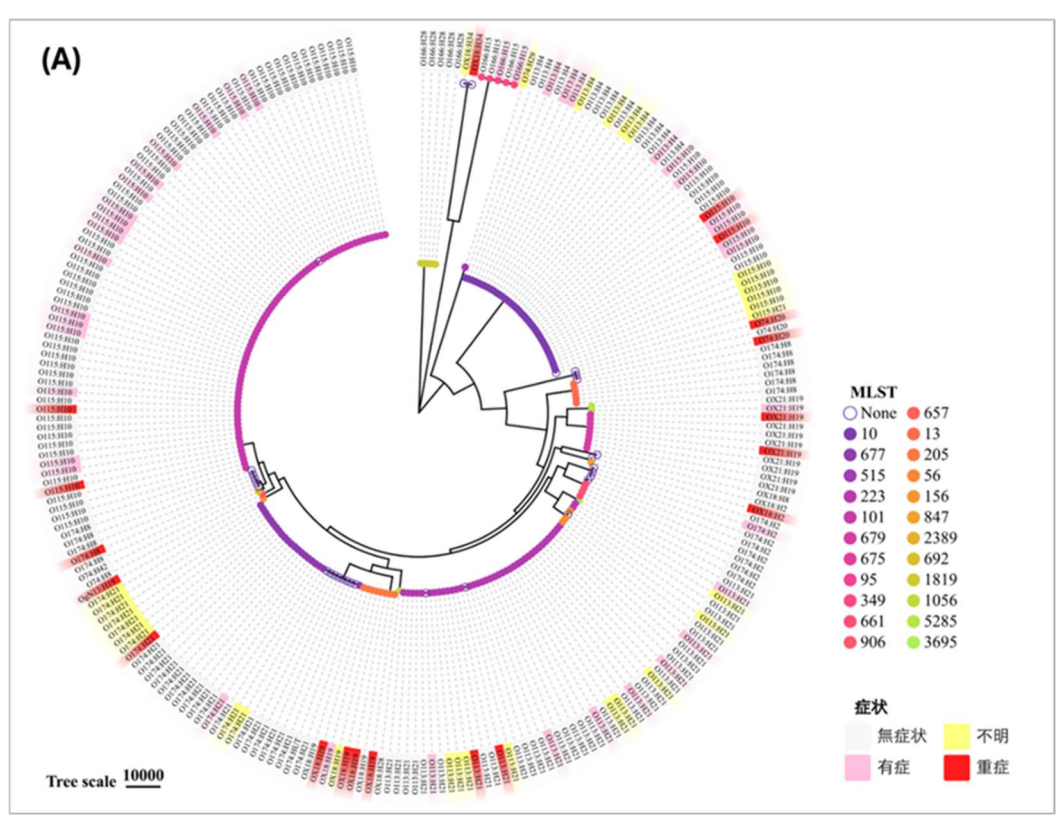


図 3. LEE 非保有 EHEC 株の SNP 抽出による系統解析 菌株ノードの色は MLST を示し、 菌株番号の色は症状を示す

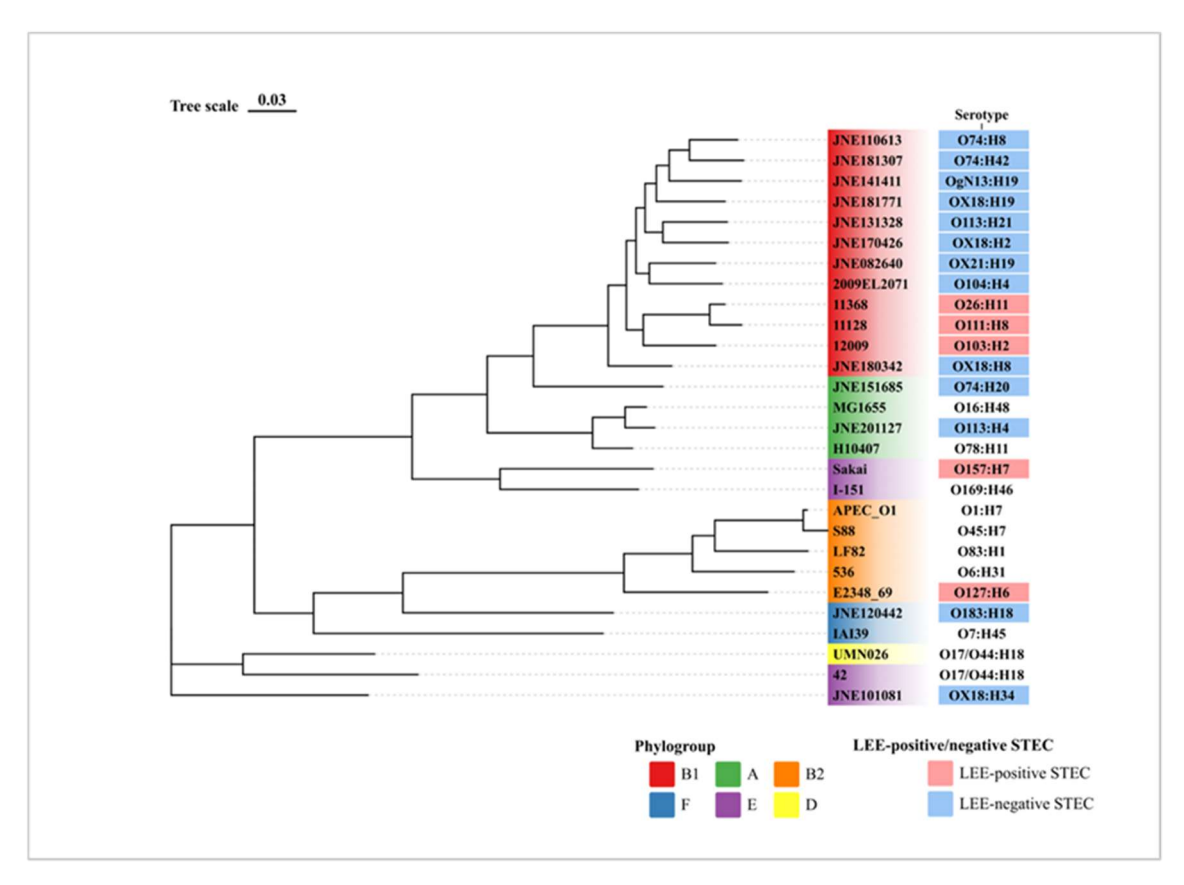


図 4. 各血清型大腸菌の SNP 抽出による系統解析

菌株番号の色は Phylogroup を示し、Serotype の色は LEE 保有の有無を示す

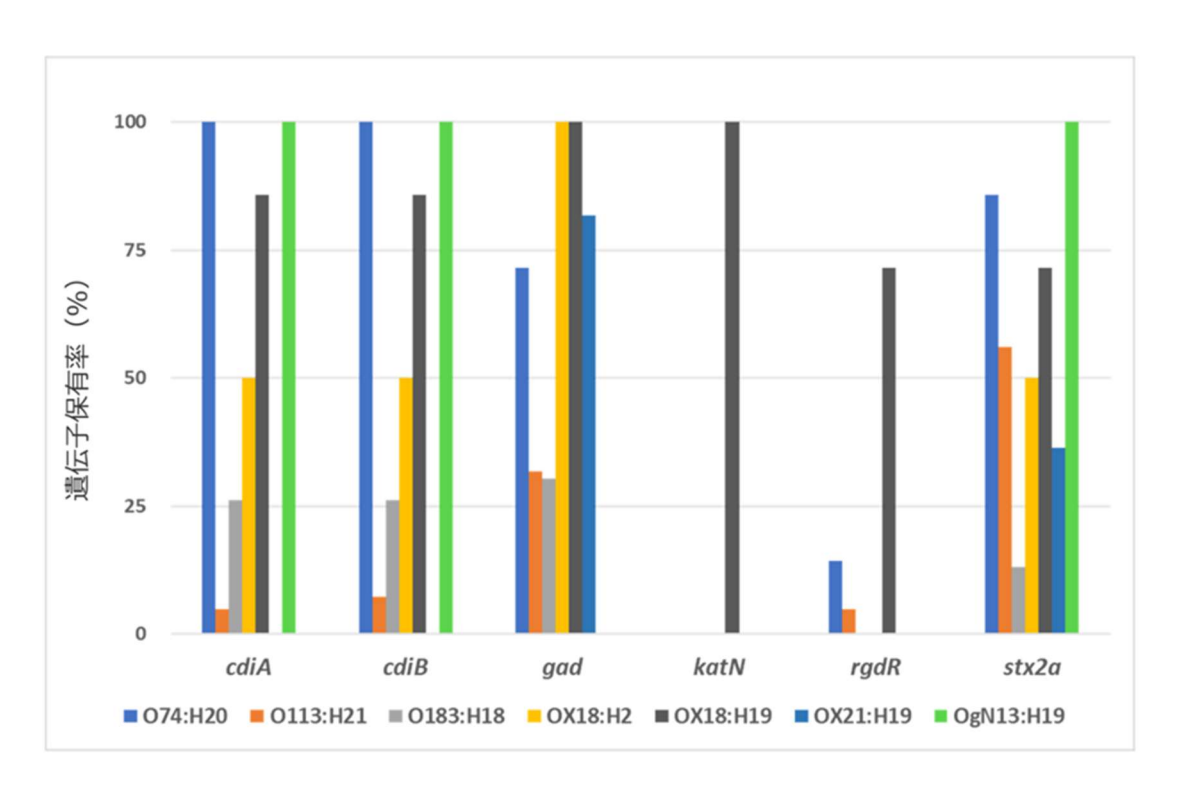


図 5. LEE 非保有 EHEC における血清型別の各遺伝子保有率

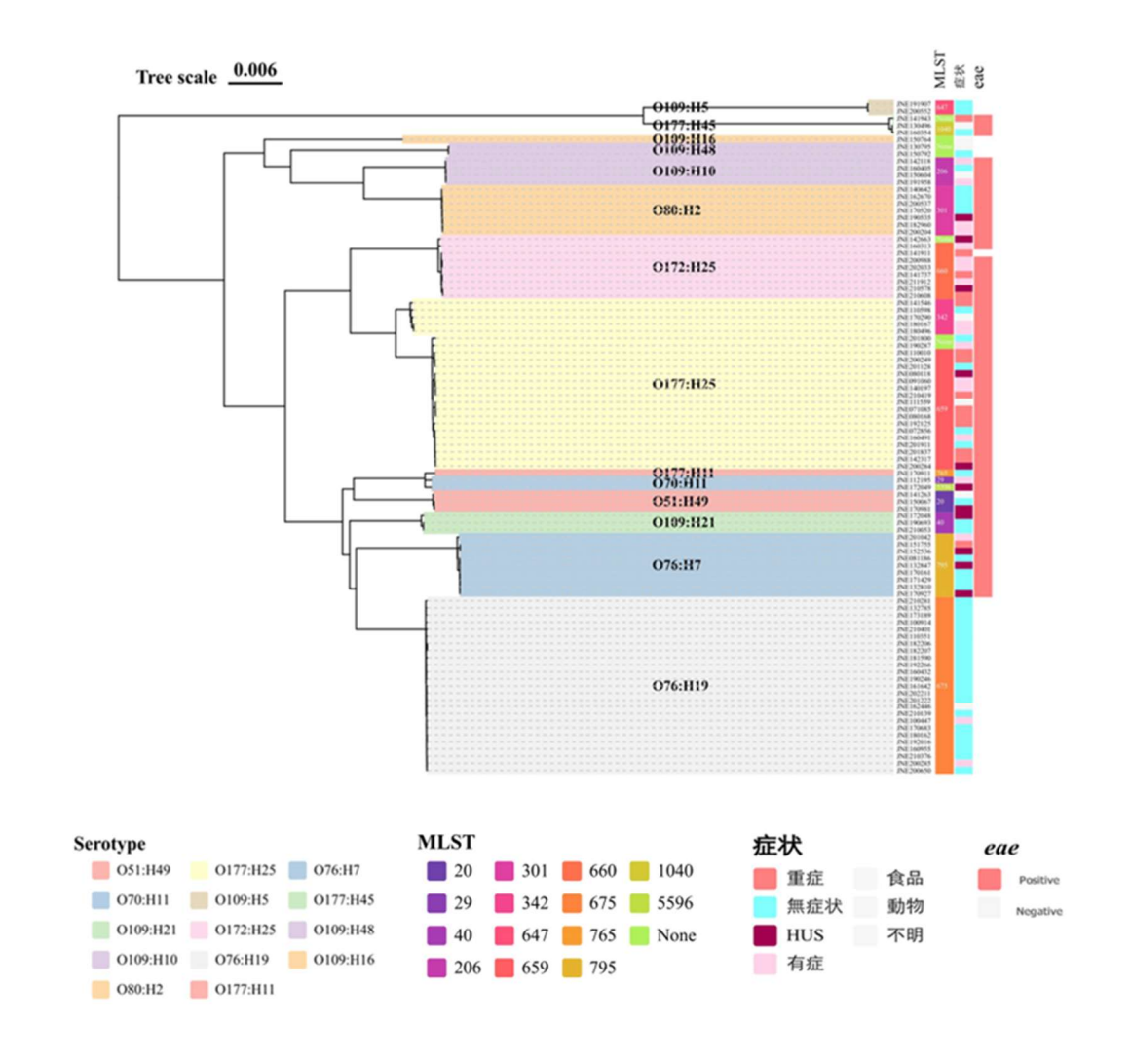


図 6. LEE 保有マイナーEHEC 株の SNP 抽出による系統解析

系統樹の枝の色は血清型を示している

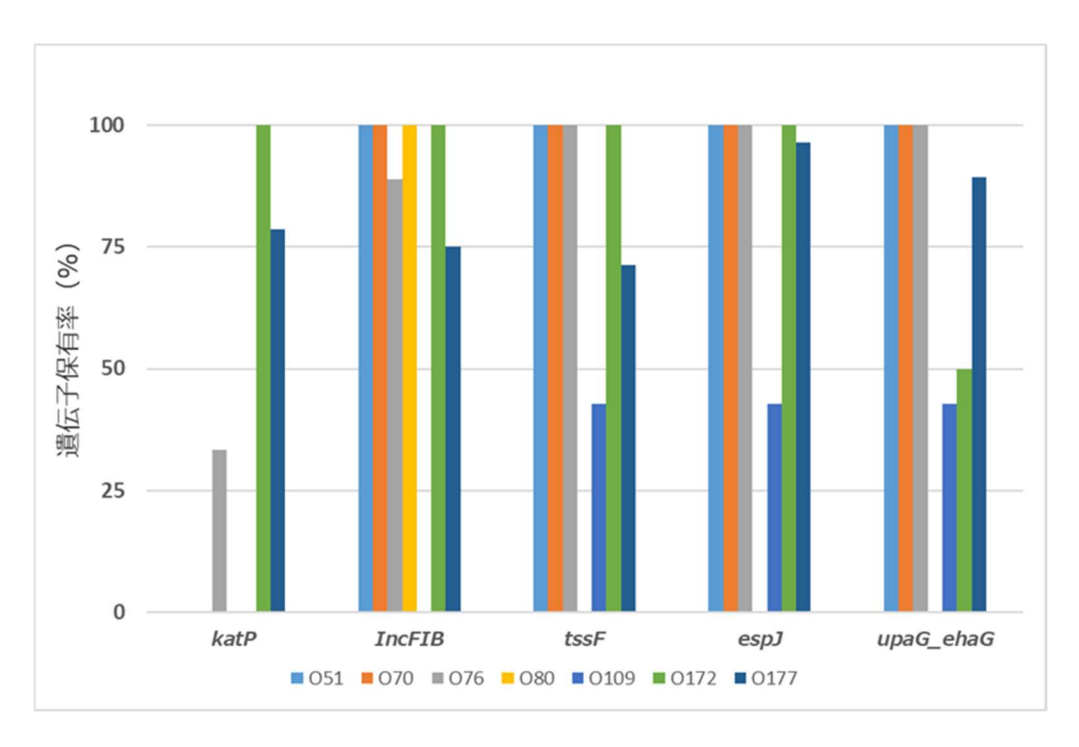


図 7. LEE 保有マイナー血清群 EHEC における血清型別の遺伝子保有率

## 別紙4

# 研究成果の刊行に関する一覧表

## 書籍

著者氏名	論文タイトル名	書籍全体の 編集者名	書	籍	名	出版社名	出版地	出版年	ページ
なし									

### 雑誌

発表者氏名	論文タイトル名	発表誌名	巻号	ページ	出版年
	sequence of eigh t LEE-negative S	Resource Anno uncements	Volume 1 3 • Num ber 1 • J anuary 2 024	e00 <b>5</b> 9123	2023